

## 7. Схемы №1, №2 параметризации линейных систем

### 7.1. Схема №1. Параметризация выхода

**Объект:**

$$y^{(n)} + a_{n-1}y^{(n-1)} + \dots + a_0y = b_mu^{(m)} + \dots + b_0u, \quad (7.1)$$

где  $a_i, b_j, i = \overline{0, n-1}, j = \overline{0, m}$  – постоянные параметры.

## 7. Схемы №1, №2 параметризации линейных систем

### 7.1. Схема №1. Параметризация выхода

**Объект:**

$$y^{(n)} + a_{n-1}y^{(n-1)} + \dots + a_0y = b_mu^{(m)} + \dots + b_0u, \quad (7.1)$$

где  $a_i, b_j, i = \overline{0, n-1}, j = \overline{0, m}$  – постоянные параметры.

Применим оператор передаточной функции

$$H(s) = \frac{1}{K(s)} = \frac{1}{s^n + k_{n-1}s^{n-1} + \dots + k_0}$$

с гурвицевым полиномом  $K(s) = s^n + k_{n-1}s + \dots + k_0$  к (7.1), полагая

Начальные условия  $y(0), \dots, y^{(n-1)}(0)$  равными нулю (см. *Пример 6.3*)

## 7.1. Схема №1. Параметризация выхода

Параметризация

$$y = (k_{n-1} - a_{n-1}) \frac{s^{n-1}}{K(s)}[y] + \dots + (k_1 - a_1) \frac{s}{K(s)}[y] + (k_0 - a_0) \frac{1}{K(s)}[y] +$$

$$b_m \frac{s^m}{K(s)}[u] + \dots + b_1 \frac{s}{K(s)}[u] + b_0 \frac{1}{K(s)}[u],$$

## 7.1. Схема №1. Параметризация выхода

Параметризация

$$\begin{aligned}
 y = & \underbrace{(k_{n-1} - a_{n-1})}_{\theta_n} \underbrace{\frac{s^{n-1}}{K(s)}}_{\xi_n} [y] + \dots + \underbrace{(k_1 - a_1)}_{\theta_2} \underbrace{\frac{s}{K(s)}}_{\xi_2} [y] + \underbrace{(k_0 - a_0)}_{\theta_1} \underbrace{\frac{1}{K(s)}}_{\xi_1} [y] + \\
 & \underbrace{b_m}_{\theta_{n+m+1}} \underbrace{\frac{s^m}{K(s)}}_{v_{m+1}} [u] + \dots + \underbrace{b_1}_{\theta_{n+2}} \underbrace{\frac{s}{K(s)}}_{v_2} [u] + \underbrace{b_0}_{\theta_{n+1}} \underbrace{\frac{1}{K(s)}}_{v_1} [u], \\
 & y = \theta^T \omega,
 \end{aligned} \tag{7.2}$$

где  $\theta = \text{col}(\theta_1, \theta_2, \dots, \theta_{n+m+1}) \in \mathbb{R}^{n+m+1},$

$\omega = \text{col}(\xi_1, \xi_2, \dots, \xi_n, v_1, v_2, \dots, v_{m+1}) \in \mathbb{R}^{n+m+1}.$

## 7.1. Схема №1. Параметризация выхода

Параметризация

$$y = \underbrace{(k_{n-1} - a_{n-1})}_{\theta_n} \underbrace{\frac{s^{n-1}}{K(s)}}_{\xi_n} [y] + \dots + \underbrace{(k_1 - a_1)}_{\theta_2} \underbrace{\frac{s}{K(s)}}_{\xi_2} [y] + \underbrace{(k_0 - a_0)}_{\theta_1} \underbrace{\frac{1}{K(s)}}_{\xi_1} [y] +$$

$$\underbrace{b_m \frac{s^m}{K(s)}}_{\theta_{n+m+1}} \underbrace{[u]}_{v_{m+1}} + \dots + \underbrace{b_1 \frac{s}{K(s)}}_{\theta_{n+2}} \underbrace{[u]}_{v_2} + \underbrace{b_0 \frac{1}{K(s)}}_{\theta_{n+1}} \underbrace{[u]}_{v_1},$$

$$\begin{cases} \ddot{\xi}_1 = \xi_2 \\ \ddot{\xi}_2 = \xi_3 \\ \dots \\ \ddot{\xi}_{n-1} = \xi_n \\ \ddot{\xi}_n = -k_0 \xi_1 - k_1 \xi_2 - \dots - k_{n-1} \xi_n + y \end{cases} \quad (7.3)$$

$$\begin{cases} \dot{v}_1 = v_2 \\ \dot{v}_2 = v_3 \\ \dots \\ \dot{v}_{n-1} = v_n \\ \dot{v}_n = -k_0 v_1 - k_1 v_2 - \dots - k_{n-1} v_n + u \end{cases} \quad (7.4)$$

## 7.1. Схема №1. Параметризация выхода

Параметризация

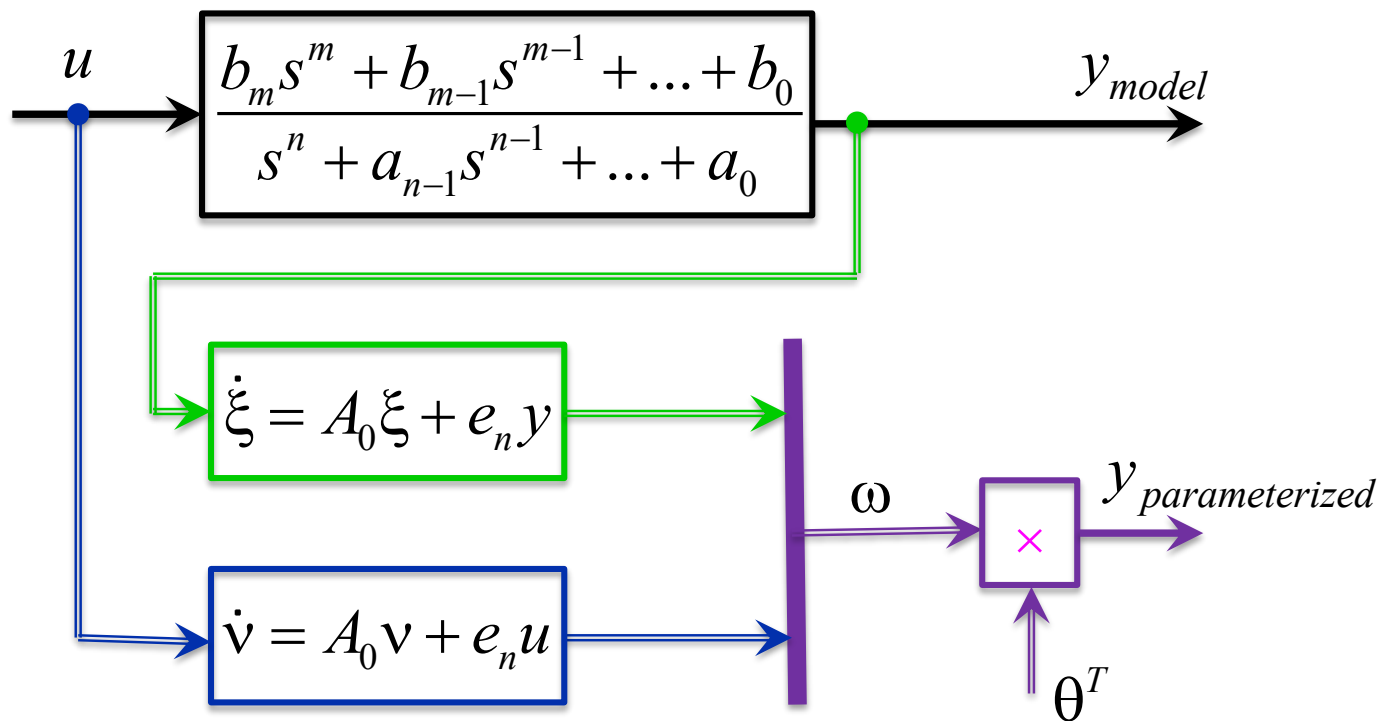
$$y = \underbrace{(k_{n-1} - a_{n-1})}_{\theta_n} \underbrace{\frac{s^{n-1}}{K(s)}}_{\xi_n} [y] + \dots + \underbrace{(k_1 - a_1)}_{\theta_2} \underbrace{\frac{s}{K(s)}}_{\xi_2} [y] + \underbrace{(k_0 - a_0)}_{\theta_1} \underbrace{\frac{1}{K(s)}}_{\xi_1} [y] +$$

$$\underbrace{b_m \frac{s^m}{K(s)}}_{\theta_{n+m+1} v_{m+1}} [u] + \dots + \underbrace{b_1 \frac{s}{K(s)}}_{\theta_{n+2} v_2} [u] + \underbrace{b_0 \frac{1}{K(s)}}_{\theta_{n+1} v_1} [u],$$

$$\begin{cases} \dot{\xi} = A_0 \xi + e_n y, \\ \dot{v} = A_0 v + e_n u \end{cases} \quad (7.3) \quad (7.4)$$

$$A_0 = \begin{bmatrix} 0 & 1 & 0 & \dots & 0 \\ 0 & 0 & 1 & \dots & 0 \\ \vdots & \vdots & \vdots & \ddots & \vdots \\ 0 & 0 & 0 & \dots & 1 \\ -k_0 & -k_1 & -k_2 & \dots & -k_{n-1} \end{bmatrix}, \quad e_n = \begin{bmatrix} 0 \\ 0 \\ \vdots \\ 0 \\ 1 \end{bmatrix}$$

## 7.1. Схема №1. Параметризация выхода



$$y_{parameterized} = \theta^T \omega$$

## 7.2. Схема №2. Параметризация вектора состояния

Объект (в канонической форме):

$$\begin{cases} \dot{x} = Ax + bu, \\ y = c^T x, \end{cases} \quad (7.5)$$

где

$$A = \begin{bmatrix} -a_{n-1} & 1 & 0 & \dots & 0 \\ -a_{n-2} & 0 & 1 & \dots & 0 \\ \vdots & \vdots & \vdots & \ddots & \vdots \\ -a_1 & 0 & 0 & \dots & 1 \\ -a_0 & 0 & 0 & \dots & 0 \end{bmatrix}, \quad b = \begin{bmatrix} 0 \\ \vdots \\ 0 \\ b_m \\ \vdots \\ b_0 \end{bmatrix}, \quad c = \begin{bmatrix} 1 \\ 0 \\ \vdots \\ 0 \end{bmatrix},$$

$a_i, b_j, i = \overline{0, n-1}, j = \overline{0, m}$  – постоянные параметры.



## 7.2. Схема №2. Параметризация вектора состояния

Применим передаточную матрицу (резольвенту)

$$\Phi(s) = \left( I_{n \times n} s - A_0^* \right)^{-1} \quad (7.6)$$

с гурвицевой матрицей

$$A_0^* = \begin{bmatrix} -k_{n-1} & 1 & 0 & \cdots & 0 \\ -k_{n-2} & 0 & 1 & \cdots & 0 \\ \vdots & \vdots & \vdots & \ddots & \vdots \\ -k_1 & 0 & 0 & \cdots & 1 \\ -k_0 & 0 & 0 & \cdots & 0 \end{bmatrix}$$

к (7.5) временно полагая начальные условия  $x(0)$  равными нулю:

$$\left( I_{n \times n} s - A_0^* \right)^{-1} [\dot{x}] = \left( I_{n \times n} s - A_0^* \right)^{-1} A[x] + \left( I_{n \times n} s - A_0^* \right)^{-1} b[u]$$



## 7.2. Схема №2. Параметризация вектора состояния

$$\left(I_{n \times n}s - A_0^*\right)^{-1} \cdot s [x] = \left(I_{n \times n}s - A_0^*\right)^{-1} A[x] + \left(I_{n \times n}s - A_0^*\right)^{-1} b[u]$$

## 7.2. Схема №2. Параметризация вектора состояния

$$\left(I_{n \times n} s - \overset{*}{\cancel{A_0}}\right)^{-1} \cdot s [x] = \left(I_{n \times n} s - A_0^*\right)^{-1} A[x] + \left(I_{n \times n} s - A_0^*\right)^{-1} b[u]$$



$$\left(I_{n \times n} s - A_0^*\right)^{-1} \left(I_{n \times n} s \pm A_0^*\right)[x] = \left(I_{n \times n} s - A_0^*\right)^{-1} A[x] + \left(I_{n \times n} s - A_0^*\right)^{-1} b[u]$$

## 7.2. Схема №2. Параметризация вектора состояния

$$\left(I_{n \times n} s - \overset{*}{\cancel{A_0}}\right)^{-1} \cdot s [x] = \left(I_{n \times n} s - A_0^*\right)^{-1} A[x] + \left(I_{n \times n} s - A_0^*\right)^{-1} b[u]$$



$$\left(I_{n \times n} s - A_0^*\right)^{-1} \left(I_{n \times n} s \pm A_0^*\right)[x] = \left(I_{n \times n} s - A_0^*\right)^{-1} A[x] + \left(I_{n \times n} s - A_0^*\right)^{-1} b[u]$$



$$x = \left(I_{n \times n} s - A_0^*\right)^{-1} (A - A_0^*)[x] + \left(I_{n \times n} s - A_0^*\right)^{-1} b[u]$$

## 7.2. Схема №2. Параметризация вектора состояния

$$\left(I_{n \times n} s - \overset{*}{\cancel{A_0}}\right)^{-1} \cdot s [x] = \left(I_{n \times n} s - \overset{*}{\cancel{A_0}}\right)^{-1} A[x] + \left(I_{n \times n} s - \overset{*}{\cancel{A_0}}\right)^{-1} b[u]$$



$$\left(I_{n \times n} s - \overset{*}{\cancel{A_0}}\right)^{-1} \left(I_{n \times n} s \pm \overset{*}{\cancel{A_0}}\right)[x] = \left(I_{n \times n} s - \overset{*}{\cancel{A_0}}\right)^{-1} A[x] + \left(I_{n \times n} s - \overset{*}{\cancel{A_0}}\right)^{-1} b[u]$$



$$x = \left(I_{n \times n} s - \overset{*}{\cancel{A_0}}\right)^{-1} \underbrace{\left(A - \overset{*}{\cancel{A_0}}\right)} [x] + \left(I_{n \times n} s - \overset{*}{\cancel{A_0}}\right)^{-1} b[u]$$

$$\begin{bmatrix} -a_{n-1} & 1 & 0 & \cdots & 0 \\ -a_{n-2} & 0 & 1 & \cdots & 0 \\ \vdots & \vdots & \vdots & \ddots & \vdots \\ -a_1 & 0 & 0 & \cdots & 1 \\ -a_0 & 0 & 0 & \cdots & 0 \end{bmatrix} - \begin{bmatrix} -k_{n-1} & 1 & 0 & \cdots & 0 \\ -k_{n-2} & 0 & 1 & \cdots & 0 \\ \vdots & \vdots & \vdots & \ddots & \vdots \\ -k_1 & 0 & 0 & \cdots & 1 \\ -k_0 & 0 & 0 & \cdots & 0 \end{bmatrix} = \begin{bmatrix} k_{n-1} - a_{n-1} \\ \vdots \\ k_1 - a_1 \\ k_0 - a_0 \end{bmatrix} [1 \ 0 \ \cdots \ 0]$$

## 7.2. Схема №2. Параметризация вектора состояния

$$\left( I_{n \times n} s - \overset{*}{\cancel{A_0}} \right)^{-1} \cdot s [x] = \left( I_{n \times n} s - \overset{*}{\cancel{A_0}} \right)^{-1} A[x] + \left( I_{n \times n} s - \overset{*}{\cancel{A_0}} \right)^{-1} b[u]$$



$$\left( I_{n \times n} s - \overset{*}{\cancel{A_0}} \right)^{-1} \left( I_{n \times n} s \pm \overset{*}{\cancel{A_0}} \right) [x] = \left( I_{n \times n} s - \overset{*}{\cancel{A_0}} \right)^{-1} A[x] + \left( I_{n \times n} s - \overset{*}{\cancel{A_0}} \right)^{-1} b[u]$$



$$x = \left( I_{n \times n} s - \overset{*}{\cancel{A_0}} \right)^{-1} \underbrace{\left( A - \overset{*}{\cancel{A_0}} \right)} [x] + \left( I_{n \times n} s - \overset{*}{\cancel{A_0}} \right)^{-1} b[u]$$

$$\begin{bmatrix} -a_{n-1} & 1 & 0 & \cdots & 0 \\ -a_{n-2} & 0 & 1 & \cdots & 0 \\ \vdots & \vdots & \vdots & \ddots & \vdots \\ -a_1 & 0 & 0 & \cdots & 1 \\ -a_0 & 0 & 0 & \cdots & 0 \end{bmatrix} - \begin{bmatrix} -k_{n-1} & 1 & 0 & \cdots & 0 \\ -k_{n-2} & 0 & 1 & \cdots & 0 \\ \vdots & \vdots & \vdots & \ddots & \vdots \\ -k_1 & 0 & 0 & \cdots & 1 \\ -k_0 & 0 & 0 & \cdots & 0 \end{bmatrix} = \begin{bmatrix} k_{n-1} - a_{n-1} \\ \vdots \\ k_1 - a_1 \\ k_0 - a_0 \end{bmatrix} c^T$$

## 7.2. Схема №2. Параметризация вектора состояния

$$\left(I_{n \times n} s - \overset{*}{\cancel{A_0}}\right)^{-1} \cdot s [x] = \left(I_{n \times n} s - A_0^*\right)^{-1} A[x] + \left(I_{n \times n} s - A_0^*\right)^{-1} b[u]$$

$$\Downarrow$$

$$\left(I_{n \times n} s - A_0^*\right)^{-1} \left(I_{n \times n} s \pm A_0^*\right)[x] = \left(I_{n \times n} s - A_0^*\right)^{-1} A[x] + \left(I_{n \times n} s - A_0^*\right)^{-1} b[u]$$

$$\Downarrow$$

$$x = \left(I_{n \times n} s - A_0^*\right)^{-1} \begin{bmatrix} k_{n-1} - a_{n-1} \\ \vdots \\ k_1 - a_1 \\ k_0 - a_0 \end{bmatrix} c^T [x] + \left(I_{n \times n} s - A_0^*\right)^{-1} b[u]$$

## 7.2. Схема №2. Параметризация вектора состояния

$$\begin{aligned}
 & \left( I_{n \times n} s - A_0^* \right)^{-1} \cdot s \overset{\text{red } A_0^*}{\cancel{x}} [x] = \left( I_{n \times n} s - A_0^* \right)^{-1} A[x] + \left( I_{n \times n} s - A_0^* \right)^{-1} b[u] \\
 & \Downarrow \\
 & \left( I_{n \times n} s - A_0^* \right)^{-1} \left( I_{n \times n} s \pm A_0^* \right) [x] = \left( I_{n \times n} s - A_0^* \right)^{-1} A[x] + \left( I_{n \times n} s - A_0^* \right)^{-1} b[u] \\
 & \Downarrow \\
 & x = \left( I_{n \times n} s - A_0^* \right)^{-1} \begin{bmatrix} k_{n-1} - a_{n-1} \\ \vdots \\ k_1 - a_1 \\ k_0 - a_0 \end{bmatrix} [y] + \left( I_{n \times n} s - A_0^* \right)^{-1} \begin{bmatrix} 0 \\ \vdots \\ 0 \\ b_m \\ \vdots \\ b_0 \end{bmatrix} [u]
 \end{aligned}$$



## 7.2. Схема №2. Параметризация вектора состояния

$$\begin{bmatrix} k_{n-1} - a_{n-1} \\ \vdots \\ k_1 - a_1 \\ k_0 - a_0 \end{bmatrix} = \sum_{i=0}^{n-1} (k_i - a_i) e_{n-i}, \quad \begin{bmatrix} 0 \\ \vdots \\ 0 \\ b_m \\ \vdots \\ b_0 \end{bmatrix} = \sum_{j=0}^m b_j e_{m+1-j},$$

где  $e_i = \text{col}(0, \dots, 0, 1, 0, \dots, 0)$ ,

## 7.2. Схема №2. Параметризация вектора состояния

$$\begin{bmatrix} k_{n-1} - a_{n-1} \\ \vdots \\ k_1 - a_1 \\ k_0 - a_0 \end{bmatrix} = \sum_{i=0}^{n-1} (k_i - a_i) e_{n-i}, \quad \begin{bmatrix} 0 \\ \vdots \\ 0 \\ b_m \\ \vdots \\ b_0 \end{bmatrix} = \sum_{j=0}^m b_j e_{m+1-j},$$

где  $e_i = \text{col}(0, \dots, 0, 1, 0, \dots, 0)_i$ ,

$$x = (I_{n \times n} s - A_0^*)^{-1} \begin{bmatrix} k_{n-1} - a_{n-1} \\ \vdots \\ k_1 - a_1 \\ k_0 - a_0 \end{bmatrix} [y] + (I_{n \times n} s - A_0^*)^{-1} \begin{bmatrix} 0 \\ \vdots \\ 0 \\ b_m \\ \vdots \\ b_0 \end{bmatrix} [u]$$

## 7.2. Схема №2. Параметризация вектора состояния

$$\begin{bmatrix} k_{n-1} - a_{n-1} \\ \vdots \\ k_1 - a_1 \\ k_0 - a_0 \end{bmatrix} = \sum_{i=0}^{n-1} (k_i - a_i) e_{n-i}, \quad \begin{bmatrix} 0 \\ \vdots \\ 0 \\ b_m \\ \vdots \\ b_0 \end{bmatrix} = \sum_{j=0}^m b_j e_{m+1-j},$$

где  $e_i = \text{col}(0, \dots, 0, 1, 0, \dots, 0)$ ,

$$x = \sum_{i=0}^{n-1} (k_i - a_i) (I_{n \times n} s - A_0^*)^{-1} e_{n-i} [y] + \sum_{j=0}^m b_j (I_{n \times n} s - A_0^*)^{-1} e_{m+1-j} [u]$$

## 7.2. Схема №2. Параметризация вектора состояния

$$\begin{bmatrix} k_{n-1} - a_{n-1} \\ \vdots \\ k_1 - a_1 \\ k_0 - a_0 \end{bmatrix} = \sum_{i=0}^{n-1} (k_i - a_i) e_{n-i}, \quad \begin{bmatrix} 0 \\ \vdots \\ 0 \\ b_m \\ \vdots \\ b_0 \end{bmatrix} = \sum_{j=0}^m b_j e_{m+1-j},$$

где  $e_i = \text{col}(0, \dots, 0, 1, 0, \dots, 0)$ ,

$$x = \sum_{i=0}^{n-1} (k_i - a_i) (I_{n \times n} s - A_0^*)^{-1} e_{n-i} [y] + \sum_{j=0}^m b_j (I_{n \times n} s - A_0^*)^{-1} e_{m+1-j} [u]$$

$$x = \sum_{i=0}^{n-1} \theta_{i+1} (I_{n \times n} s - A_0^*)^{-1} e_{n-i} [y] + \sum_{j=0}^m \theta_{j+1+n} (I_{n \times n} s - A_0^*)^{-1} e_{m+1-j} [u] \quad (7.7)$$

$$\theta = \text{col}(k_0 - a_0, k_1 - a_1, \dots, k_{n-1} - a_{n-1}, b_0, b_1, \dots, b_m) \in \mathbb{R}^{n+m+1}$$

## 7.2. Схема №2. Параметризация вектора состояния

$$x = \sum_{i=0}^{n-1} \theta_{i+1} \left( I_{n \times n} s - A_0^* \right)^{-1} e_{n-i} [y] + \sum_{j=0}^m \theta_{j+1+n} \left( I_{n \times n} s - A_0^* \right)^{-1} e_{m+1-j} [u]$$

**Параметризация с помощью наборов фильтров:**

$$x = \sum_{i=1}^n \theta_i \xi_i^* + \sum_{j=1}^{m+1} \theta_{j+n} v_j^*, \quad (7.8)$$

где  $e_i = \text{col}(0, \dots, 0, 1, 0, \dots, 0)_i$ ,

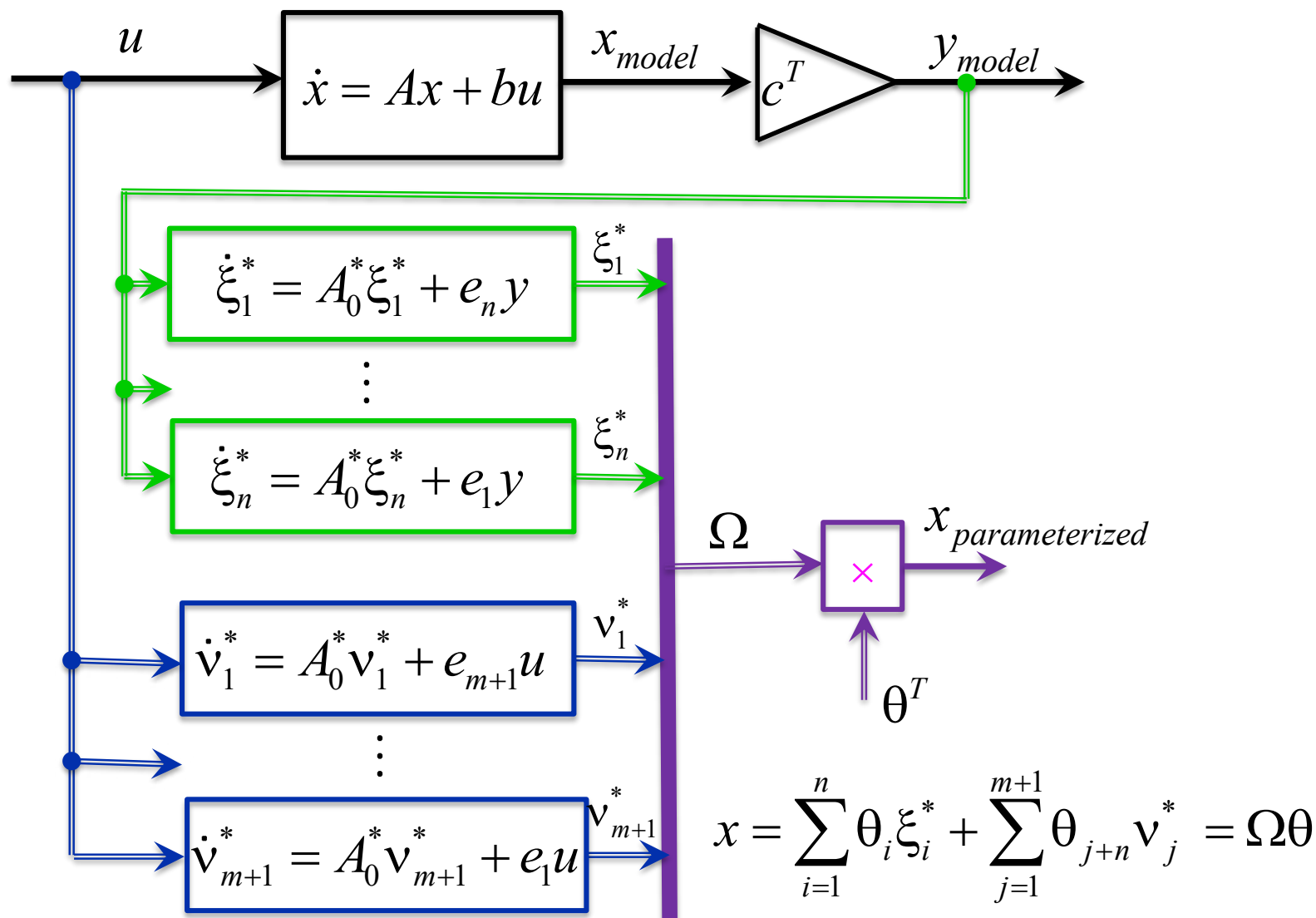
$$\begin{cases} \dot{\xi}_i^* = A_0^* \xi_i^* + e_{n+1-i} y, & i = \overline{1, n}, \end{cases} \quad (7.9)$$

$$\begin{cases} \dot{v}_j^* = A_0^* v_j^* + e_{m+2-j} u, & j = \overline{1, m+1}, \end{cases} \quad (7.10)$$

$$A_0^* = \begin{bmatrix} -k_{n-1} & 1 & 0 & \dots & 0 \\ -k_{n-2} & 0 & 1 & \dots & 0 \\ \vdots & \vdots & \vdots & \ddots & \vdots \\ -k_1 & 0 & 0 & \dots & 1 \\ -k_0 & 0 & 0 & \dots & 0 \end{bmatrix},$$

$$\theta = \text{col}(k_0 - a_0, k_1 - a_1, \dots, k_{n-1} - a_{n-1}, b_0, b_1, \dots, b_m) \in \mathbb{R}^{n+m+1}$$

## 7.2. Схема №2. Параметризация вектора состояния



## 8. Адаптивный наблюдатель

### Постановка задачи

**Объект:**

$$\begin{cases} \dot{x} = Ax + bu, \\ y = c^T x, \end{cases} \quad (8.1)$$

где  $x \in \mathbb{R}^n$  – неизмеряемый вектор состояния известной размерности,  
 $u, y \in \mathbb{R}$  – измеряемые вход и выход соответственно,

$$A = \begin{bmatrix} -a_{n-1} & 1 & 0 & \cdots & 0 \\ -a_{n-2} & 0 & 1 & \cdots & 0 \\ \vdots & \vdots & \vdots & \ddots & \vdots \\ -a_1 & 0 & 0 & \cdots & 1 \\ -a_0 & 0 & 0 & \cdots & 0 \end{bmatrix}, \quad b = \begin{bmatrix} 0 \\ \vdots \\ 0 \\ b_m \\ \vdots \\ b_0 \end{bmatrix}, \quad c = \begin{bmatrix} 1 \\ 0 \\ \vdots \\ 0 \end{bmatrix},$$

$a_i, b_j, i = \overline{0, n-1}, j = \overline{0, m}$  – постоянные неизвестные параметры.

## 8. Адаптивный наблюдатель

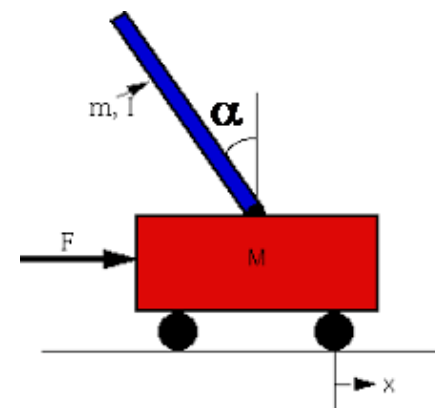
### Постановка задачи

**Объект:**

$$\begin{cases} \dot{x} = Ax + bu, \\ y = c^T x, \end{cases} \quad (8.1)$$

где  $x \in \mathbb{R}^n$  – неизмеряемый вектор состояния известной размерности,  
 $u, y \in \mathbb{R}$  – измеряемые вход и выход соответственно,

$$A = \begin{bmatrix} -a_{n-1} & 1 & 0 & \cdots & 0 \\ -a_{n-2} & 0 & 1 & \cdots & 0 \\ \vdots & \vdots & \vdots & \ddots & \vdots \\ -a_1 & 0 & 0 & \cdots & 1 \\ -a_0 & 0 & 0 & \cdots & 0 \end{bmatrix}, \quad b = \begin{bmatrix} 0 \\ \vdots \\ 0 \\ b_m \\ \vdots \\ b_0 \end{bmatrix}, \quad c = \begin{bmatrix} 1 \\ 0 \\ \vdots \\ 0 \end{bmatrix},$$



$a_i, b_j, i = \overline{0, n-1}, j = \overline{0, m}$  – постоянные неизвестные параметры.



## Постановка задачи

**Допущение 8.1.** Условие согласования (общий случай): существует гурвицева матрица  $A_0^*$  и вектор неизвестных параметров  $\theta$  такой, что

$$A_0^* = A + \theta c^T. \quad (8.2)$$

### Постановка задачи

**Допущение 8.1.** Условие согласования (общий случай): существует гурвицева матрица  $A_0^*$  и вектор неизвестных параметров  $\theta$  такой, что

$$A_0^* = A + \theta c^T. \quad (8.2)$$

**Допущение 8.2.** Сигнал  $u(t)$  частотно богат, т.е. содержит достаточное для идентификации количество гармоник  $(n + m + 1) / 2$ .

**Допущение 8.3.** Матрица  $A$  гурвицева. Пара  $(A, c)$  полностью наблюдаема.

### Постановка задачи

**Допущение 8.1.** Условие согласования (общий случай): существует гурвицева матрица  $A_0^*$  и вектор неизвестных параметров  $\theta$  такой, что

$$A_0^* = A + \theta c^T. \quad (8.2)$$

**Допущение 8.2.** Сигнал  $u(t)$  частотно богат, т.е. содержит достаточное для идентификации количество гармоник  $(n + m + 1) / 2$ .


**Допущение 8.3.** Матрица  $A$  гурвицева. Пара  $(A, c)$  полностью наблюдаема.

**Цель:** синтезировать наблюдатель, генерирующий вектор  $\hat{x}(t)$ :

$$\lim_{t \rightarrow \infty} \|x(t) - \hat{x}(t)\| = 0. \quad (8.3)$$

## Решение

### Проблемы



Недоступный  
измерению  
вектор  $x$

Неизвестные  
параметры

## Решение

1. Проблема неизмеряемого вектора состояния разрешается с помощью

*Схемы №2  
параметризации*

$$x = \sum_{i=1}^n \theta_i \xi_i^* + \sum_{j=1}^{m+1} \theta_{j+n} v_j^*,$$

где  $\theta = \text{col}(k_0 - a_0, k_1 - a_1, \dots, k_{n-1} - a_{n-1}, b_0, b_1, \dots, b_m) \in \mathbb{R}^{n+m+1}$ ,

$$\begin{cases} \dot{\xi}_i^* = A_0^* \xi_i^* + e_{n+1-i} y, & i = \overline{1, n}, \end{cases} \quad (8.5)$$

$$\begin{cases} \dot{v}_j^* = A_0^* v_j^* + e_{m+2-j} u, & j = \overline{1, m+1}, \end{cases} \quad (8.6)$$

$$e_i = \text{col}(0, \dots, 0, \underset{i}{1}, 0, \dots, 0),$$

$$A_0^* = \begin{bmatrix} -k_{n-1} & 1 & 0 & \cdots & 0 \\ -k_{n-2} & 0 & 1 & \cdots & 0 \\ \vdots & \vdots & \vdots & \ddots & \vdots \\ -k_1 & 0 & 0 & \cdots & 1 \\ -k_0 & 0 & 0 & \cdots & 0 \end{bmatrix},$$

## Решение

и подстановки вместо вектора  $\theta$  вектор  $\hat{\theta}$ :

$$\hat{x} = \sum_{i=1}^n \hat{\theta}_i \xi_i^* + \sum_{j=1}^{m+1} \hat{\theta}_{j+n} v_j^*, \quad (8.4)$$

где  $\theta = \text{col}(k_0 - a_0, k_1 - a_1, \dots, k_{n-1} - a_{n-1}, b_0, b_1, \dots, b_m) \in \mathbb{R}^{n+m+1}$ ,

$$\begin{cases} \dot{\xi}_i^* = A_0^* \xi_i^* + e_{n+1-i} y, & i = \overline{1, n}, \end{cases} \quad (8.5)$$

$$\begin{cases} \dot{v}_j^* = A_0^* v_j^* + e_{m+2-j} u, & j = \overline{1, m+1}, \end{cases} \quad (8.6)$$

$$e_i = \text{col}(0, \dots, 0, 1, 0, \dots, 0),$$

$$A_0^* = \begin{bmatrix} -k_{n-1} & 1 & 0 & \dots & 0 \\ -k_{n-2} & 0 & 1 & \dots & 0 \\ \vdots & \vdots & \vdots & \ddots & \vdots \\ -k_1 & 0 & 0 & \dots & 1 \\ -k_0 & 0 & 0 & \dots & 0 \end{bmatrix},$$

## Решение

2. Проблема неизвестных параметров разрешается с помощью

*Схемы №1  
параметризации*

$$y = \theta^T \omega,$$

где  $\omega = \text{col}(\xi_1, \xi_2, \dots, \xi_n, v_1, v_2, \dots, v_{m+1}) \in \mathbb{R}^{n+m+1},$

$$\begin{cases} \dot{\xi} = A_0 \xi + e_n y, \end{cases} \quad (8.7)$$

$$\begin{cases} \dot{v} = A_0 v + e_n u, \end{cases} \quad (8.8)$$

$$A_0 = \begin{bmatrix} 0 & 1 & 0 & \dots & 0 \\ 0 & 0 & 1 & \dots & 0 \\ \vdots & \vdots & \vdots & \ddots & \vdots \\ 0 & 0 & 0 & \dots & 1 \\ -k_0 & -k_1 & -k_2 & \dots & -k_{n-1} \end{bmatrix}, e_n = \begin{bmatrix} 0 \\ 0 \\ \vdots \\ 0 \\ 1 \end{bmatrix}.$$

## Решение

2. Проблема неизвестных параметров разрешается с помощью

*Схемы №1  
параметризации*

$$y = \theta^T \omega, \quad (8.9)$$

где  $\omega = \text{col}(\xi_1, \xi_2, \dots, \xi_n, v_1, v_2, \dots, v_{m+1}) \in \mathbb{R}^{n+m+1}$ .

**Ошибка идентификации** (см. Пример 6.3):

$$e = y - \hat{\theta}^T \omega. \quad (8.10)$$

**Статическая модель ошибки** ( (8.9) в (8.10), см. лекцию 6.1):

$$e = \tilde{\theta}^T \omega, \quad (8.11)$$

где  $\tilde{\theta} = \theta - \hat{\theta}$  – вектор параметрических ошибок.



## Решение

Статическая модель ошибки мотивирует синтез алгоритма адаптации

$$\dot{\hat{\theta}} = \gamma \omega e \quad (8.12)$$

с положительным коэффициентом  $\gamma$ .

## Решение

*Настраиваемая  
параметризованная  
модель объекта*

$$\hat{x} = \sum_{i=1}^n \hat{\theta}_i \xi_i^* + \sum_{j=1}^{m+1} \hat{\theta}_{j+n} v_j^* \quad (8.4)$$

*Фильтры*

$$\begin{cases} \dot{\xi}_i^* = A_0^* \xi_i^* + e_{n+1-i} y, & i = \overline{1, n}, \end{cases} \quad (8.5)$$

$$\begin{cases} \dot{v}_j^* = A_0^* v_j^* + e_{m+2-j} u, & j = \overline{1, m+1} \end{cases} \quad (8.6)$$

*Ошибка идентификации*

$$e = y - \hat{\theta}^T \omega, \quad (8.10)$$

$$\omega = \text{col}(\xi_1, \xi_2, \dots, \xi_n, v_1, v_2, \dots, v_{m+1})$$

*Фильтры*

$$\begin{cases} \dot{\xi} = A_0 \xi + e_n y, \end{cases} \quad (8.7)$$

$$\begin{cases} \dot{v} = A_0 v + e_n u, \end{cases} \quad (8.8)$$

*Алгоритм адаптации*

$$\dot{\hat{\theta}} = \gamma \omega e \quad (8.12)$$

## Решение

Настраиваемая  
параметризованная  
модель объекта

$$\hat{x} = \sum_{i=1}^n \hat{\theta}_i \xi_i^* + \sum_{j=1}^{m+1} \hat{\theta}_{j+n} v_j^* \quad (8.4)$$

Фильтры

$$\begin{cases} \dot{\xi}_i^* = A_0^* \xi_i^* + e_{n+1-i} y, & i = \overline{1, n}, \end{cases} \quad (8.5)$$

$$\begin{cases} \dot{v}_j^* = A_0^* v_j^* + e_{m+2-j} u, & j = \overline{1, m+1} \end{cases} \quad (8.6)$$

Ошибка идентификации

$$e = y - \hat{\theta}^T \omega, \quad (8.10)$$

$$\omega = \text{col}(\xi_1, \xi_2, \dots, \xi_n, v_1, v_2, \dots, v_{m+1})$$

Фильтры

$$\begin{cases} \dot{\xi} = A_0 \xi + e_n y, \end{cases} \quad (8.7)$$

$$\begin{cases} \dot{v} = A_0 v + e_n u, \end{cases} \quad (8.8)$$

Алгоритм адаптации

$$\dot{\hat{\theta}} = \gamma \omega e \quad (8.12)$$

**Домашняя  
работа.  
Упростить  
решение**

## Заключение

### Свойства в замкнутой системе:

1. Если  $u(t)$  ограничен, то все сигналы ограничены;
2. Если  $u(t)$  содержит не менее  $(n+m+1)/2$  гармоник, то нормы  $\|x(t) - \hat{x}(t)\|$ ,  $\|\tilde{\theta}(t)\|$  стремятся к нулю экспоненциально;
3. Если  $u(t)$  содержит не менее  $(n+m+1)/2$  гармоник, то существует оптимальное значение  $\gamma$  такое, что скорость сходимости  $\|\tilde{\theta}(t)\| \rightarrow 0$  максимальна.



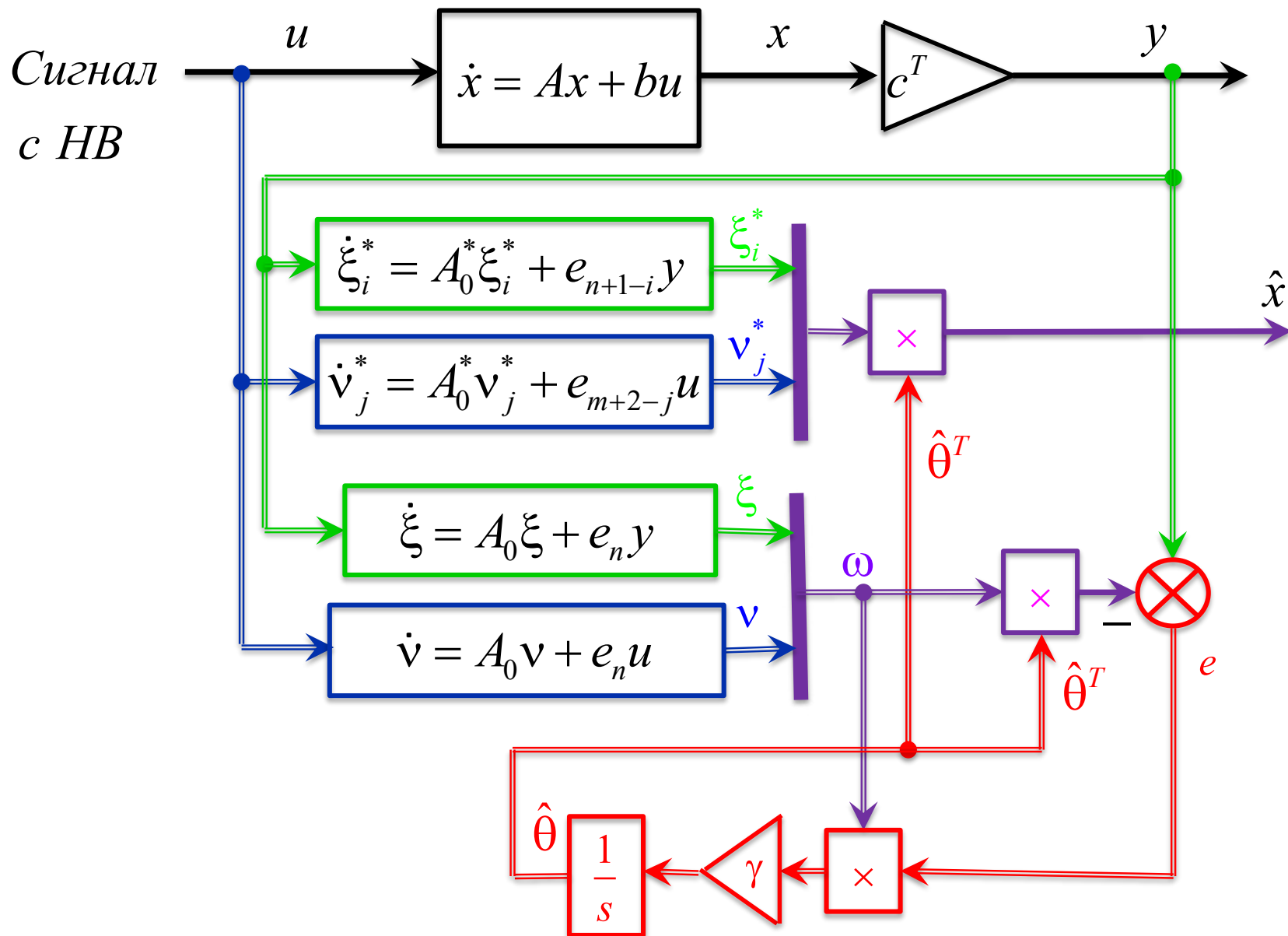
## Заключение

### Свойства в замкнутой системе:

1. Если  $u(t)$  ограничен, то все сигналы ограничены;
2. Если  $u(t)$  содержит не менее  $(n+m+1)/2$  гармоник, то нормы  $\|x(t) - \hat{x}(t)\|$ ,  $\|\tilde{\theta}(t)\|$  стремятся к нулю экспоненциально;
3. Если  $u(t)$  содержит не менее  $(n+m+1)/2$  гармоник, то существует оптимальное значение  $\gamma$  такое, что скорость сходимости  $\|\tilde{\theta}(t)\| \rightarrow 0$  максимальна.



**Существенное практическое  
ограничение**



## Результаты моделирования

*Объект*

$$\begin{bmatrix} \dot{x}_1 \\ \dot{x}_2 \end{bmatrix} = \begin{bmatrix} -a_1 & 1 \\ -a_0 & 0 \end{bmatrix} \begin{bmatrix} x_1 \\ x_2 \end{bmatrix} + \begin{bmatrix} b_1 \\ b_0 \end{bmatrix} u$$

*Неизвестные параметры*

$$\begin{aligned} a_0 &= -1, & a_1 &= -2, \\ b_0 &= 3, & b_1 &= 4 \end{aligned}$$

*Фильтры*

$$\begin{bmatrix} \dot{\xi}_{11}^* \\ \dot{\xi}_{12}^* \end{bmatrix} = \begin{bmatrix} -5 & 1 \\ -6 & 0 \end{bmatrix} \begin{bmatrix} \xi_{11}^* \\ \xi_{12}^* \end{bmatrix} + \begin{bmatrix} 0 \\ 1 \end{bmatrix} y, \quad \begin{bmatrix} \dot{v}_{11}^* \\ \dot{v}_{12}^* \end{bmatrix} = \begin{bmatrix} -5 & 1 \\ -6 & 0 \end{bmatrix} \begin{bmatrix} v_{11}^* \\ v_{12}^* \end{bmatrix} + \begin{bmatrix} 0 \\ 1 \end{bmatrix} u,$$

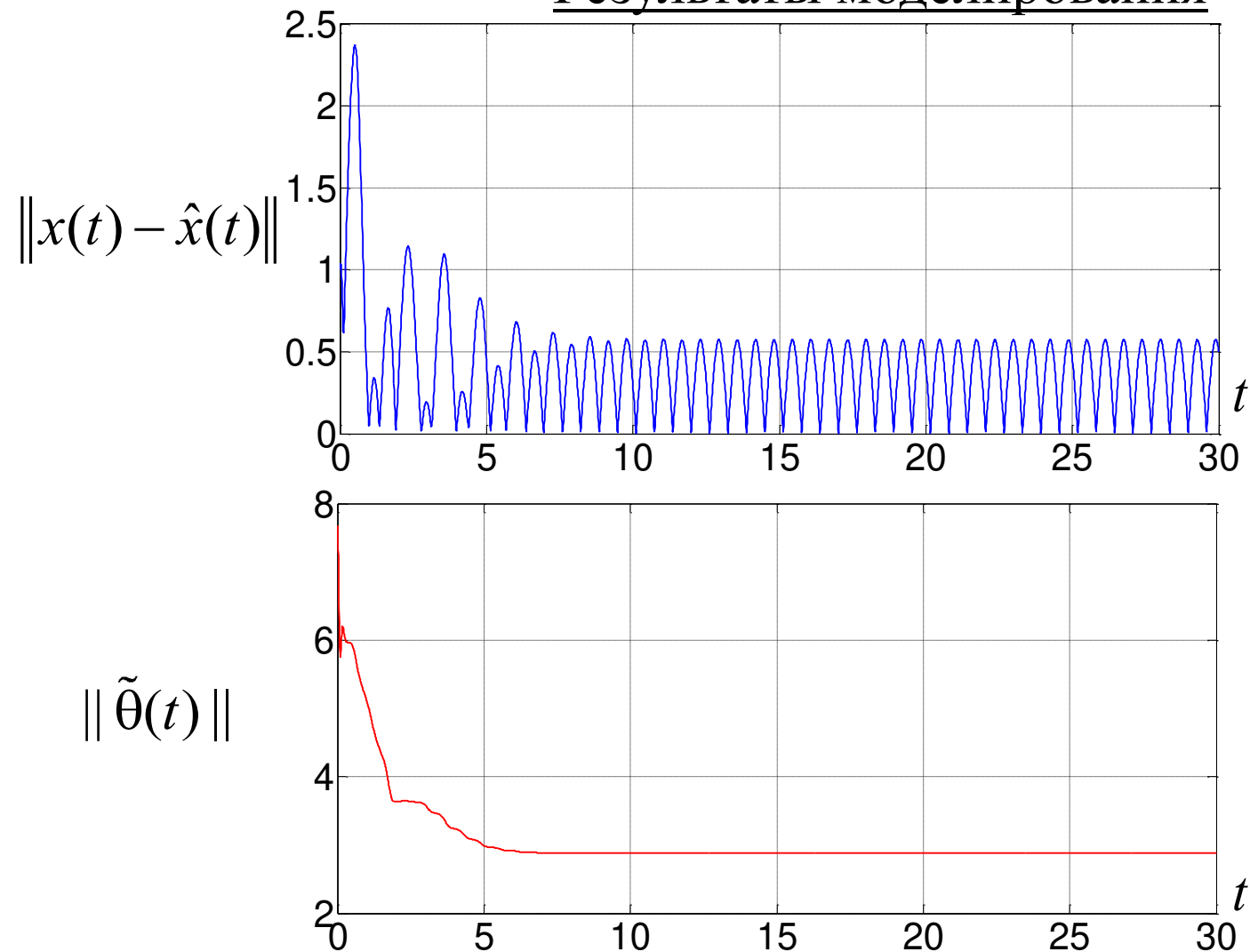
$$\begin{bmatrix} \dot{\xi}_{21}^* \\ \dot{\xi}_{22}^* \end{bmatrix} = \begin{bmatrix} -5 & 1 \\ -6 & 0 \end{bmatrix} \begin{bmatrix} \xi_{21}^* \\ \xi_{22}^* \end{bmatrix} + \begin{bmatrix} 1 \\ 0 \end{bmatrix} y, \quad \begin{bmatrix} \dot{v}_{21}^* \\ \dot{v}_{22}^* \end{bmatrix} = \begin{bmatrix} -5 & 1 \\ -6 & 0 \end{bmatrix} \begin{bmatrix} v_{21}^* \\ v_{22}^* \end{bmatrix} + \begin{bmatrix} 1 \\ 0 \end{bmatrix} u,$$

$$\begin{bmatrix} \dot{\xi}_1 \\ \dot{\xi}_2 \end{bmatrix} = \begin{bmatrix} 0 & 1 \\ -6 & -5 \end{bmatrix} \begin{bmatrix} \xi_1 \\ \xi_2 \end{bmatrix} + \begin{bmatrix} 0 \\ 1 \end{bmatrix} y, \quad \begin{bmatrix} \dot{v}_1 \\ \dot{v}_2 \end{bmatrix} = \begin{bmatrix} 0 & 1 \\ -6 & -5 \end{bmatrix} \begin{bmatrix} v_1 \\ v_2 \end{bmatrix} + \begin{bmatrix} 0 \\ 1 \end{bmatrix} u$$

*Коэффициент адаптации*

$$\gamma = 1000$$

## Результаты моделирования

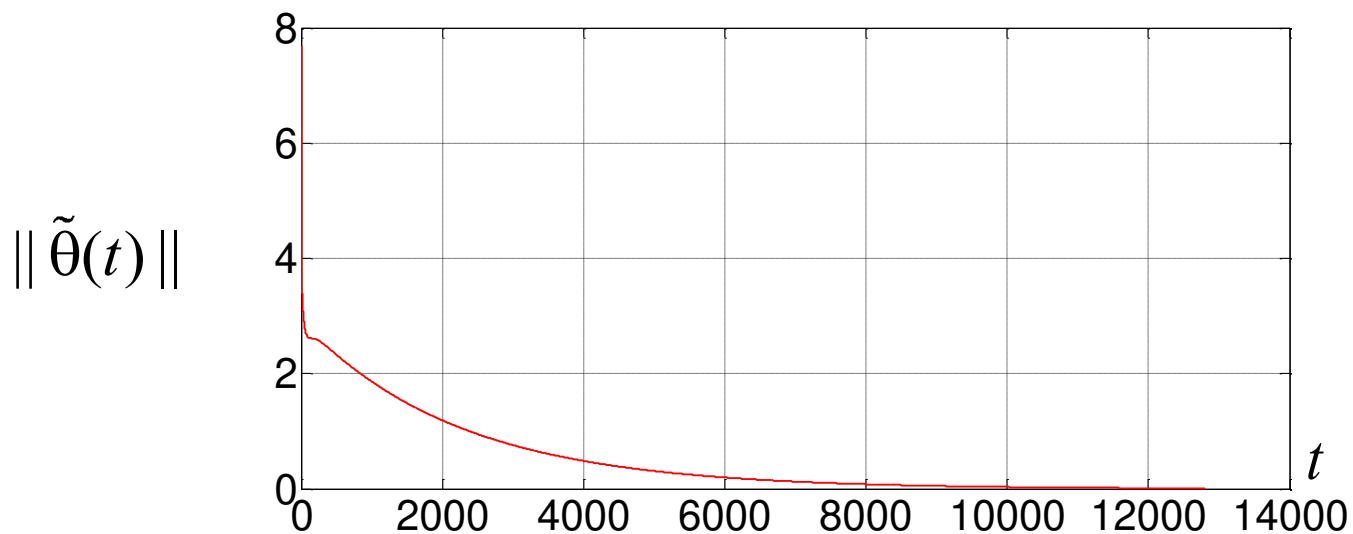
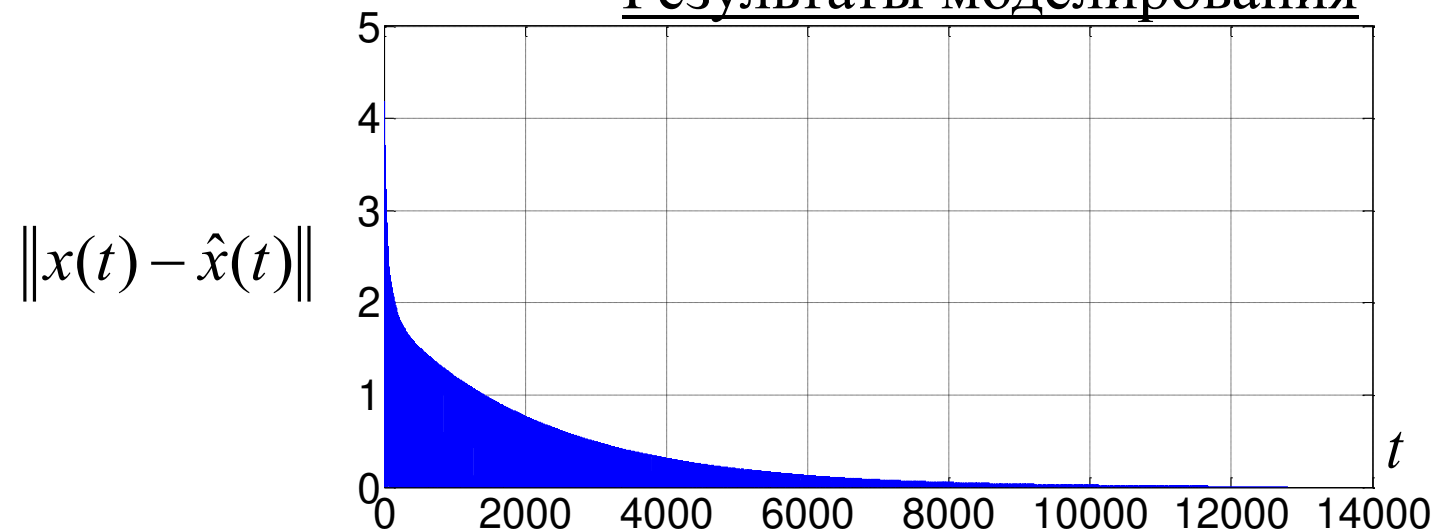


*Входной сигнал:*

$$u(t) = \sin(t)$$



## Результаты моделирования



Входной сигнал:

$$u(t) = \sin(t) + \cos(5t)$$

## 9. Схема №3 параметризации линейных систем

Применение наблюдателей в при управлении по выходу может существенно ухудшить качество замкнутых систем ввиду зависимости идентификатора от условия неисчезающего возбуждения.

## 9. Схема №3 параметризации линейных систем

Применение наблюдателей в при управлении по выходу может существенно ухудшить качество замкнутых систем ввиду зависимости идентификатора от условия неисчезающего возбуждения.

В статье **K. Åstrom and B. Wittenmark, On Self-tuning Regulators, Automatica, Vol. 9, pp. 185-199, 1973** показано, что нет необходимости в идентификации параметров объекта. Вместо этого достаточно *напрямую* настраивать параметры регулятора с целью сведения ошибки управления к нулю без условия неисчезающего возмущения.

## 9. Схема №3 параметризации линейных систем

**Объект:**

$$y^{(n)} + a_{n-1}y^{(n-1)} + \dots + a_0y = b_mu^{(m)} + \dots + b_0u, \quad (9.1)$$

где  $a_i, b_j, i = \overline{0, n-1}, j = \overline{0, m}$  – постоянные параметры.

**Передаточная функция:**

$$y(t) = \frac{b_ms^m + \dots + b_1s + b_0}{s^n + a_{n-1}s^{n-1} + \dots + a_1s + a_0} [u(t)] = \frac{b(s)}{a(s)} [u(t)] \quad (9.2)$$

с взаимно простыми полиномами  $a(s), b(s)$ .

Временно предположим, что начальные условия  $y(0), \dots, y^{(n-1)}(0)$  нулевые.

## 9. Схема №3 параметризации линейных систем

**Лемма (R. V. Monopoli, 1974)** Существует постоянный вектор  $\theta \in \mathbb{R}^{2n-1}$

$$y(t) = \frac{1}{\delta_M(s)} [\theta^T \omega(t) + b_m u(t)], \quad (9.3)$$

где  $\omega = \text{col}(y, v_1, v_2) \in \mathbb{R}^{2n-1}$  – регрессор,

$\delta_M(s)$  – произвольный гурвицевый полином порядка

$(n - m)$ , совпадающего с относительной степенью объекта,

$v_1, v_2 \in \mathbb{R}^{n-1}$  – векторы состояния фильтров

$$\begin{cases} \dot{v}_1 = \Lambda v_1 + e_{n-1} y, \\ \dot{v}_2 = \Lambda v_2 + e_{n-1} u, \end{cases} \quad (9.4) \quad (9.5) \quad \Lambda = \begin{bmatrix} 0 & 1 & 0 & \cdots & 0 \\ 0 & 0 & 1 & \cdots & 0 \\ \vdots & \vdots & \vdots & \ddots & \vdots \\ 0 & 0 & 0 & \cdots & 1 \\ -\gamma_0 & -\gamma_1 & -\gamma_2 & \cdots & -\gamma_{n-2} \end{bmatrix}, \quad e_{n-1} = \begin{bmatrix} 0 \\ \vdots \\ 0 \\ 1 \end{bmatrix}.$$

# 10. Адаптивное управление с эталонной моделью

## Постановка задачи

Объект

$$y(t) = \frac{b_m s^m + b_{m-1} s^{m-1} + \dots + b_0}{s^n + a_{n-1} s^{n-1} + a_{n-2} s^{n-2} + \dots + a_0} [u(t)] = \frac{b(s)}{a(s)} [u(t)] \quad (10.1)$$

with **unknown** parameters  $a_i, b_j$ ,  $i = \overline{0, n-1}$ ,  $j = \overline{0, m}$ , unmeasurable state, the measurable input  $u$  and output  $y$ , the known order  $n$  and the relative degree  $\rho = n - m$ .

# 10. Адаптивное управление с эталонной моделью

## Постановка задачи

**Объект:**

$$y(t) = \frac{b_m s^m + b_{m-1} s^{m-1} + \dots + b_0}{s^n + a_{n-1} s^{n-1} + a_{n-2} s^{n-2} + \dots + a_0} [u(t)] = \frac{b(s)}{a(s)} [u(t)] \quad (10.1)$$

with **unknown** parameters  $a_i, b_j$ ,  $i = \overline{0, n-1}$ ,  $j = \overline{0, m}$ , unmeasurable state, the measurable input  $u$  and output  $y$ , the known order  $n$  and the relative degree  $\rho = n - m$ .

**The Цель:** is to design a control  $u(t)$  such that

$$\lim_{t \rightarrow \infty} \|y_M(t) - y(t)\| = 0, \quad (10.2)$$

где  $y_M$  is the output of reference model with PWC reference signal  $g$ :

$$y_M^\rho + a_{Mn-1} y_M^{\rho-1} + \dots + a_{M0} y_M = a_{M0} g \quad (10.3)$$

# 10. Адаптивное управление с эталонной моделью

## Постановка задачи

**Объект:**

$$y(t) = \frac{b_m s^m + b_{m-1} s^{m-1} + \dots + b_0}{s^n + a_{n-1} s^{n-1} + a_{n-2} s^{n-2} + \dots + a_0} [u(t)] = \frac{b(s)}{a(s)} [u(t)] \quad (10.1)$$

with **unknown** parameters  $a_i, b_j$ ,  $i = \overline{0, n-1}$ ,  $j = \overline{0, m}$ , unmeasurable state, the measurable input  $u$  and output  $y$ , the known order  $n$  and the relative degree  $\rho = n - m$ .

**The Цель:** is to design a control  $u(t)$  such that

$$\lim_{t \rightarrow \infty} \|y_M(t) - y(t)\| = 0, \quad (10.2)$$

где  $y_M$  is the output of reference model with PWC reference signal  $g$ :

$$y_M(t) = \frac{a_{M0}}{s^\rho + a_{M\rho-1} s^{\rho-1} + a_{M\rho-2} s^{\rho-2} + \dots + a_{M0}} [g(t)] = \frac{a_{M0}}{\delta_M(s)} [g(t)] \quad (10.3)$$



## Постановка задачи

**Допущение 10.1.** Объект полностью управляем;

**Допущение 10.2.** Объект минимально фазовый, т.е. полином

$$b(s) = b_m s^m + \dots + b_1 s + b_0 \text{ гурвицевый;}$$

**Допущение 10.3.**  $b_m$  известен (для простоты изложения).

## Решение

### Проблемы



Неизмеримые

$\dot{y}, \dots, y^{(n-1)}$

Неизвестные

параметры

## Решение

1. Проблема неизмеримого состояния.

**Ошибка управления:**

$$\varepsilon = y_M - y \quad (10.4)$$

## Решение

1. Проблема неизмеримого состояния.

**Ошибка управления:**

$$\varepsilon = y_M - y \quad (10.4)$$

Результат леммы параметризации №3 и подстановки  $y$  из (9.3)

и  $y_M$  из (10.3):

$$y_M = \frac{a_{M0}}{\delta_M(s)} [g]$$

$$y = \frac{1}{\delta_M(s)} [\theta^T \omega + b_m u],$$

## Решение

1. Проблема неизмеримого состояния.

**Ошибка управления:**

$$\varepsilon = y_M - y \quad (10.4)$$

Результат леммы параметризации №3 и подстановки  $y$  из (9.3)

и  $y_M$  из (10.3):

$$\varepsilon = \frac{a_{M0}}{\delta_M(s)}[g] - \frac{1}{\delta_M(s)}[\theta^T \omega + b_m u],$$

## Решение

1. Проблема неизмеримого состояния.

**Ошибка управления:**

$$\varepsilon = y_M - y \quad (10.4)$$

Результат леммы параметризации №3 и подстановки  $y$  из (9.3)

и  $y_M$  из (10.3):

$$\varepsilon = \frac{a_{M0}}{\delta_M(s)}[g] - \frac{1}{\delta_M(s)}[\theta^T \omega + b_m u],$$

$\Downarrow$

$$\varepsilon = \frac{1}{\delta_M(s)}[a_{M0}g - \theta^T \omega - b_m u] \quad (10.5)$$

**См. также Пример 6.6.**

## Решение

### 2. Проблема неизвестных параметров.

Уравнение ошибки

$$\varepsilon = \frac{1}{\delta_M(s)} [a_{M0}g - \theta^T \omega - b_m u]$$

Принцип непосредственной  
компенсации

Настраиваемое  
управление

$$u = \frac{1}{b_m} (a_{M0}g - \hat{\theta}^T \omega)$$



Модель ошибки

$$\varepsilon = -\frac{1}{\delta_M(s)} [\tilde{\theta}^T \omega]$$

R. V. Monopoli, 1974,

A. Feuer and A.S. Morse, 1978

$$u = \frac{1}{b_m} \delta_M(s) \left[ \frac{a_{M0}}{\delta_M(s)} [g] - \hat{\theta}^T \bar{\omega} \right]$$



$$\varepsilon = -\tilde{\theta}^T \bar{\omega},$$

$$\bar{\omega} = \frac{1}{\delta_M(s)} [\omega]$$

A. S. Morse, 1994

## Алгоритм с расширенной ошибкой

2. Проблема неизвестных параметров.

**Уравнение ошибки:**

$$\varepsilon = \frac{1}{\delta_M(s)} \left[ a_{M0}g - \theta^T \omega - b_m u \right] \quad (10.5)$$

**Настраиваемый регулятор:**

$$u = \frac{1}{b_m} \left( a_{M0}g - \hat{\theta}^T \omega \right) \quad (10.6)$$

**Динамическая модель ошибки** (результат подстановки (10.6) в (10.5), см. лекцию 6.3):

$$\varepsilon = -\frac{1}{\delta_M(s)} \left[ \tilde{\theta}^T \omega \right]. \quad (10.7)$$



## Алгоритм с расширенной ошибкой

### 2. Проблема неизвестных параметров.

Модель (10.7) мотивирует синтез *алгоритма адаптации с расширенной ошибкой* (см. лекцию 6.3)

$$\dot{\hat{\theta}} = -\gamma \bar{\omega} \hat{\varepsilon}, \quad (10.8)$$

$$\hat{\varepsilon} = \varepsilon + \hat{\theta}^T \bar{\omega} - \frac{1}{\delta_M(s)} [\hat{\theta}^T \omega], = -\tilde{\theta}^T \bar{\omega} \quad (10.9)$$

$$\bar{\omega} = \frac{1}{\delta_M(s)} [\omega],$$

где  $\gamma$  – нормированный коэффициент адаптации, определяемый как

$$\gamma(t) = \frac{\gamma_0}{1 + \bar{\omega}^T \bar{\omega}}, \quad \gamma_0 = \text{const} > 0. \quad (10.10)$$

## Алгоритм с расширенной ошибкой

*Настраиваемый регулятор*  $u = \frac{1}{b_m} (a_{M0}g - \hat{\theta}^T \omega)$  (10.6)

*Регрессор*  $\omega = \text{col}(y, v_1, v_2)$

*Фильтры*  $\begin{cases} \dot{v}_1 = \Lambda v_1 + e_{n-1}y, \\ \dot{v}_2 = \Lambda v_2 + e_{n-1}u \end{cases}$  (9.4)

(9.5)

*Алгоритм адаптации*  $\dot{\hat{\theta}} = -\gamma \bar{\omega} \hat{\varepsilon}$  (10.8)

*Расширенная ошибка*  $\hat{\varepsilon} = \varepsilon + \hat{\theta}^T \bar{\omega} - \frac{1}{\delta_M(s)} [\hat{\theta}^T \omega]$  (10.9)

*Ошибка*  $\varepsilon = y_M - y$

*Фильтрованный регрессор*  $\bar{\omega} = \frac{1}{\delta_M(s)} [\omega]$

*Нормированный коэффициент адаптации*  $\gamma(t) = \frac{\gamma_0}{1 + \bar{\omega}^T(t) \bar{\omega}(t)}, \quad \gamma_0 = \text{const} > 0.$  (10.10)

## Алгоритм с расширенной ошибкой

*Настраиваемый регулятор*  $u = \frac{1}{b_m} (a_{M0}g - \hat{\theta}^T \omega)$  (10.6)

*Регрессор*  $\omega = \text{col}(y, v_1, v_2)$

*Фильтры*  $\begin{cases} \dot{v}_1 = \Lambda v_1 + e_{n-1}y, \\ \dot{v}_2 = \Lambda v_2 + e_{n-1}u \end{cases}$  (9.4)

(9.5)

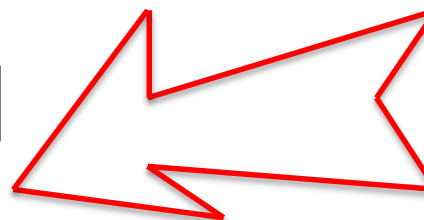
*Алгоритм адаптации*  $\dot{\hat{\theta}} = -\gamma \bar{\omega} \hat{\varepsilon}$  (10.8)

*Расширенная ошибка*  $\hat{\varepsilon} = \varepsilon + \hat{\theta}^T \bar{\omega} - \frac{1}{\delta_M(s)} [\hat{\theta}^T \omega]$  (10.9)

*Ошибка*  $\varepsilon = y_M - y$

*Фильтрованный регрессор*  $\bar{\omega} = \frac{1}{\delta_M(s)} [\omega]$

*Нормированный коэффициент адаптации*  $\gamma(t) = \frac{\gamma_0}{1 + \bar{\omega}^T(t) \bar{\omega}(t)}$  (10.10)




## Алгоритм с расширенной ошибкой

Применим лемму о  
перестановке

Алгоритм адаптации

$$\dot{\hat{\theta}} = -\gamma \bar{\omega} \hat{\varepsilon} \quad (10.8)$$

Расширенная ошибка

$$\hat{\varepsilon} = \varepsilon + \hat{\theta}^T \bar{\omega} - \frac{1}{\delta_M(s)} \left[ \hat{\theta}^T \bar{\omega} \right] \quad (10.9)$$


Фильтрованный  
регрессор

$$\bar{\omega} = \frac{1}{\delta_M(s)} [\omega]$$

Нормализованный  
коэффициент адаптации

$$\gamma(t) = \frac{\gamma_0}{1 + \bar{\omega}^T(t) \bar{\omega}(t)} \quad (10.10)$$

## Алгоритм с расширенной ошибкой

Применим лемму о  
перестановке

Алгоритм адаптации  $\dot{\hat{\theta}} = -\gamma \bar{\omega} \hat{\varepsilon}$  (10.8)

Расширенная ошибка  $\hat{\varepsilon} = \varepsilon + W_c(s) \left[ W_b(s) [\omega^T] \dot{\hat{\theta}} \right]$  (10.9)

$$W_c(s) = c^T (Is - A)^{-1}, \quad W_b(s) = (Is - A)^{-1} b$$

Фильтрованный  
регрессор  $\bar{\omega} = \frac{1}{\delta_M(s)} [\omega]$

Нормализованный  
коэффициент адаптации  $\gamma(t) = \frac{\gamma_0}{1 + \bar{\omega}^T(t) \bar{\omega}(t)}$  (10.10)

## Алгоритм с расширенной ошибкой

Применим лемму о  
перестановке

Алгоритм адаптации

$$\dot{\hat{\theta}} = -\gamma \bar{\omega} \hat{\varepsilon} \quad (10.8)$$

Расширенная ошибка

$$\hat{\varepsilon} = \varepsilon + W_c(s) \left[ W_b(s) [\omega^T] \dot{\hat{\theta}} \right] \quad (10.9)$$

Фильтрованный  
регрессор

$$W_c(s) = c^T (Is - A)^{-1}, \quad W_b(s) = (Is - A)^{-1} b$$

Нормализованный

коэффициент адаптации

$$\bar{\omega} = \frac{1}{\delta_M(s)} [\omega]$$

$$\gamma(t) = \frac{\gamma_0}{1 + \bar{\omega}^T(t) \bar{\omega}(t)} \quad (10.10)$$

## Алгоритм с расширенной ошибкой

*Расширенная ошибка*  $\hat{\varepsilon} = \varepsilon - \gamma_0 W_c(s) \left[ W_b(s) [\omega^T] \frac{\bar{\omega} \hat{\varepsilon}}{1 + \bar{\omega}^T \bar{\omega}} \right] \quad (10.9)$

$$W_c(s) = c^T (Is - A)^{-1}, \quad W_b(s) = (Is - A)^{-1} b$$

*Фильтрованный  
регрессор*

$$\bar{\omega} = \frac{1}{\delta_M(s)} [\omega]$$

## Алгоритм с расширенной ошибкой

Стремится к нулю

Ограничен

Расширенная ошибка

$$\hat{\varepsilon} = \varepsilon - \gamma_0 W_c(s) \left[ W_b(s) \left[ \omega^T \right] \frac{\bar{\omega} \hat{\varepsilon}}{1 + \bar{\omega}^T \bar{\omega}} \right] \quad (10.9)$$

Фильтрованный  
регрессор

$$W_c(s) = c^T (Is - A)^{-1}, \quad W_b(s) = (Is - A)^{-1} b$$

$$\bar{\omega} = \frac{1}{\delta_M(s)} [\omega]$$



## Алгоритм с расширенной ошибкой. Заключение

**Свойства замкнутой системы (см. лекцию 6.3):**

1. Все сигналы в системе ограничены;
2. Ошибка  $\hat{\varepsilon}(t)$  стремится к нулю асимптотически;
3. Норма  $\|\tilde{\theta}(t)\|$  стремится к нулю экспоненциально, если  $\bar{\omega}$  удовлетворяет условию неисчезающего возбуждения;
4. Ошибка  $\varepsilon(t)$  стремится к нулю асимптотически;

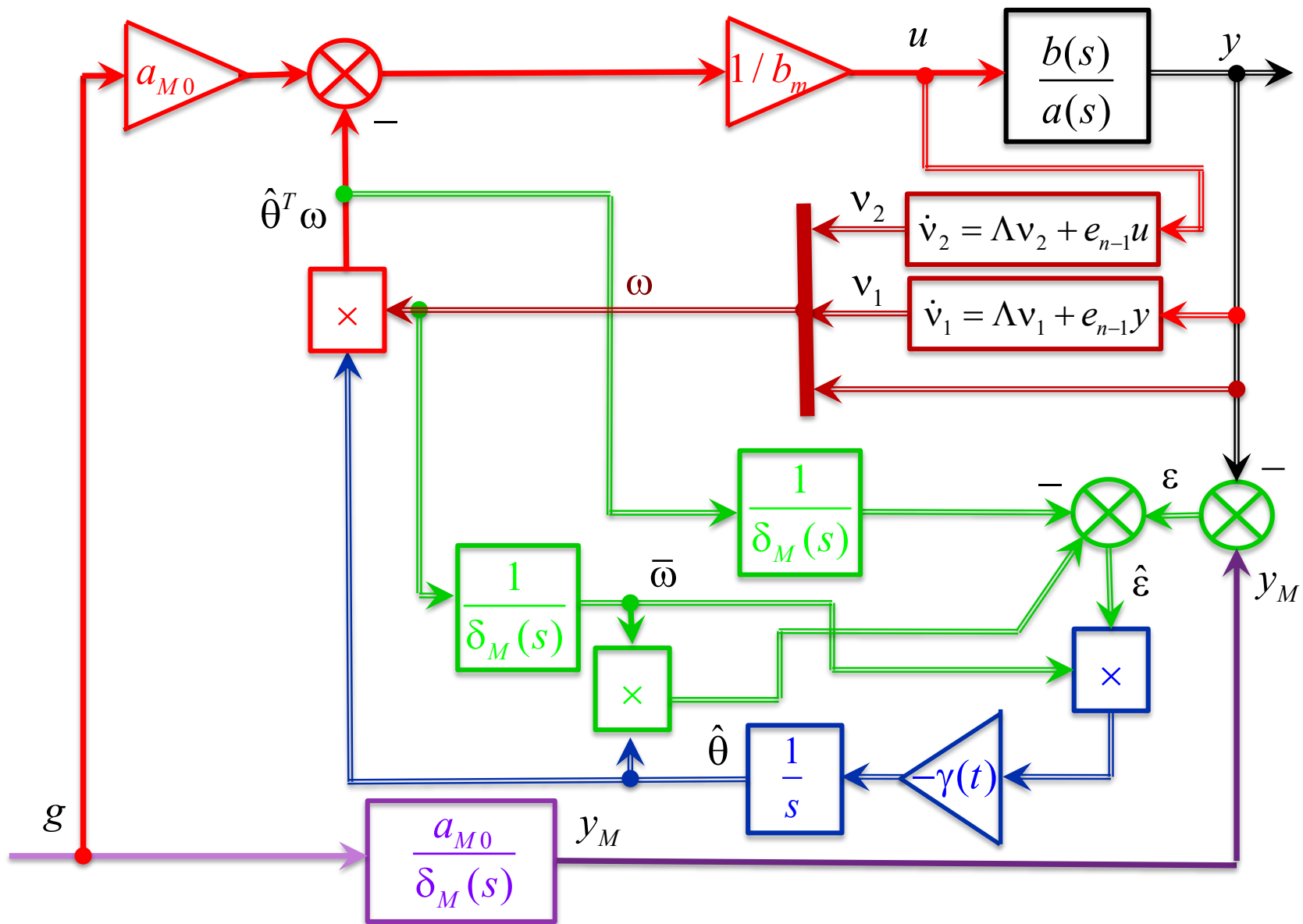
## Алгоритм с расширенной ошибкой. Заключение

**Свойства замкнутой системы (см. лекцию 6.3):**

1. Все сигналы в системе ограничены;
2. Ошибка  $\hat{\varepsilon}(t)$  стремится к нулю асимптотически;
3. Норма  $\|\tilde{\theta}(t)\|$  стремится к нулю экспоненциально, если  $\bar{\omega}$  удовлетворяет условию неисчезающего возбуждения;
4. Ошибка  $\varepsilon(t)$  стремится к нулю асимптотически;
5. Скорость параметрической сходимости, а значит и сходимости по ошибке управления  $\varepsilon(t)$ , ограничена из-за нормирующего множителя.

$$\dot{\tilde{\theta}} = -\gamma_0 \frac{\bar{\omega}\bar{\omega}^T}{1 + \bar{\omega}^T \bar{\omega}} \tilde{\theta}$$





## Результаты моделирования

**См. пример в лекции 6.3**

## Алгоритм высокого порядка

2. Проблема неизвестных параметров.

**Уравнение ошибки** (схема параметризации №3):

$$\varepsilon = \frac{1}{\delta_M(s)} \left[ a_{M0}g - \theta^T \omega - b_m u \right] \quad (10.11)$$

**Настраиваемый регулятор:**

$$u = \frac{1}{b_m} \delta_M(s) \left[ \frac{a_{M0}}{\delta_M(s)} [g] - \hat{\theta}^T \bar{\omega} \right] \quad (10.12)$$

**Статическая модель ошибки** ((10.12) в (10.11)):

(см. Лекция 6.1)

$$\varepsilon = -\tilde{\theta}^T \bar{\omega} \quad (10.13)$$

где  $\bar{\omega} = 1 / \delta_M(s) [\omega]$  – фильтрованный регрессор.

## Немедленно возникают две проблемы

Управление зависит от  
старших производных  
 $\dot{\hat{\theta}}, \dots, \hat{\theta}^{(\rho-1)}$ , скрытых в

$$\delta_M(s) [\hat{\theta}^T \bar{\omega}]$$

$$u = \frac{1}{b_m} \delta_M(s) \left[ \frac{a_{M0}}{\delta_M(s)} [g] - \hat{\theta}^T \bar{\omega} \right]$$



## Немедленно возникают две проблемы

Управление зависит от старших производных  $\dot{\hat{\theta}}, \dots, \hat{\theta}^{(\rho-1)}$ , скрытых в

$$\delta_M(s) [\hat{\theta}^T \bar{\omega}]$$

$$u = \frac{1}{b_m} \delta_M(s) \left[ \frac{a_{M0}}{\delta_M(s)} [g] - \hat{\theta}^T \bar{\omega} \right]$$



Алгоритм адаптации

$$\dot{\hat{\theta}} = -\gamma \bar{\omega} \varepsilon,$$

основанный на модели ошибки  $\varepsilon = -\tilde{\theta}^T \bar{\omega}$ , не способен генерировать  $\dot{\hat{\theta}}, \dots, \hat{\theta}^{(\rho-1)}$  для управления



## Алгоритм высокого порядка

### 2. Проблема неизвестных параметров.

Алгоритм высокого порядка (A. S. Morse, 1994)

$$\begin{cases} \dot{\hat{\psi}}_i = -\bar{\omega}_i \varepsilon, \end{cases} \quad (10.14)$$

$$\begin{cases} \dot{\eta}_i = (1 + \mu \bar{\omega}^T \bar{\omega}) (\bar{A} \eta_i + \bar{b} \hat{\psi}_i), \end{cases} \quad (10.15)$$

$$\begin{cases} \hat{\theta}_i = \bar{c}^T \eta_i, \end{cases} \quad (10.16)$$

где  $\bar{\omega}_i, \hat{\psi}_i, \hat{\theta}_i$   $i = \overline{1, 2n-1}$  – элементы векторов  $\bar{\omega}, \hat{\psi}, \hat{\theta}$ ,

$$\mu \geq \frac{(2n-1)}{2} \left\| \bar{c} - P \bar{A}^{-1} \bar{b} \right\|^2$$

– константа,  $P = P^T \succ 0$  – решение уравнения Ляпунова

$$\bar{A}^T P + P \bar{A} = -2I_{p-1 \times p-1},$$

в котором тройка  $(\bar{c}^T, \bar{A}, \bar{b})$  – минимальная реализация  $\frac{\alpha(0)}{\alpha(s)}$ .



## Алгоритм высокого порядка

### 2. Проблема неизвестных параметров.

Алгоритм высокого порядка (A. S. Morse, 1994)

$$\begin{cases} \dot{\hat{\psi}}_i = -\bar{\omega}_i \varepsilon, \end{cases} \quad (10.14)$$

$$\begin{cases} \dot{\eta}_i = (1 + \mu \bar{\omega}^T \bar{\omega}) (\bar{A} \eta_i + \bar{b} \hat{\psi}_i), \end{cases} \quad (10.15)$$

$$\begin{cases} \hat{\theta}_i = \bar{c}^T \eta_i, \end{cases} \quad (10.16)$$

Так как  $\bar{c}^T \bar{A}^{i-1} \bar{b} = 0$ ,  $i = 1, \rho$ , то получаем для случая  $\rho = 2$ :

$$\bar{c}^T \bar{A}^{-1} \bar{b} = -1 \quad \dot{\hat{\theta}}_i = \bar{c}^T \dot{\eta}_i = \bar{c}^T (1 + \mu \bar{\omega}^T \bar{\omega}) (\bar{A} \eta_i + \bar{b} \hat{\psi}_i)$$

$$\ddot{\hat{\theta}}_i = 2 \bar{c}^T \mu \bar{\omega}^T \dot{\bar{\omega}} (\bar{A} \eta_i + \bar{b} \hat{\psi}_i) +$$

$$\bar{c}^T (1 + \mu \bar{\omega}^T \bar{\omega}) (\bar{A} \dot{\eta}_i + \bar{b} \dot{\hat{\psi}}_i) =$$

$$2 \bar{c}^T \mu \bar{\omega}^T \dot{\bar{\omega}} (\bar{A} \eta_i + \bar{b} \hat{\psi}_i) +$$

$$(1 + \mu \bar{\omega}^T \bar{\omega})^2 (\bar{c}^T \bar{A}^2 \eta_i + \bar{c}^T \bar{A} \bar{b} \hat{\psi}_i) - (1 + \mu \bar{\omega}^T \bar{\omega}) \bar{c}^T \bar{b} \bar{\omega}_i \varepsilon$$

Привет из  
классической  
теории  
управления

## Алгоритм высокого порядка

### *Замечание 10.1. Пояснение к работе алгоритма*

Введем в рассмотрение вспомогательный сигнал

$$z_i = \eta_i + \bar{A}^{-1} \bar{b} \hat{\psi}_i \quad (10.17)$$

## Алгоритм высокого порядка

### *Замечание 10.1. Пояснение к работе алгоритма*

Введем в рассмотрение вспомогательный сигнал

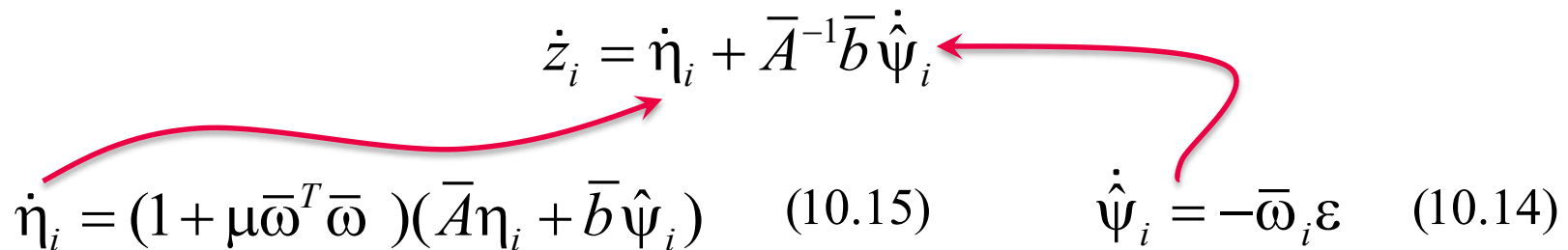
$$z_i = \eta_i + \bar{A}^{-1} \bar{b} \hat{\psi}_i \quad (10.17)$$

и рассчитаем его производную

$$\dot{z}_i = \dot{\eta}_i + \bar{A}^{-1} \bar{b} \dot{\hat{\psi}}_i$$

$\dot{\eta}_i = (1 + \mu \bar{\omega}^T \bar{\omega})(\bar{A} \eta_i + \bar{b} \hat{\psi}_i) \quad (10.15)$

$\dot{\hat{\psi}}_i = -\bar{\omega}_i \varepsilon \quad (10.14)$



## Алгоритм высокого порядка

### *Замечание 10.1. Пояснение к работе алгоритма*

Введем в рассмотрение вспомогательный сигнал

$$z_i = \eta_i + \bar{A}^{-1} \bar{b} \hat{\psi}_i \quad (10.17)$$

и рассчитаем его производную

$$\dot{z}_i = (1 + \mu \bar{\omega}^T \bar{\omega}) (\bar{A} \eta_i + \bar{b} \hat{\psi}_i) - \bar{A}^{-1} \bar{b} \bar{\omega}_i \varepsilon$$

## Алгоритм высокого порядка

### *Замечание 10.1. Пояснение к работе алгоритма*

Введем в рассмотрение вспомогательный сигнал

$$z_i = \eta_i + \bar{A}^{-1} \bar{b} \hat{\psi}_i \quad (10.17)$$

и рассчитаем его производную

$$\dot{z}_i = (1 + \mu \bar{\omega}^T \bar{\omega}) \bar{A} z_i - \bar{A}^{-1} \bar{b} \bar{\omega}_i \varepsilon. \quad (10.18)$$

## Алгоритм высокого порядка

### *Замечание 10.1. Пояснение к работе алгоритма*

Введем в рассмотрение вспомогательный сигнал

$$z_i = \eta_i + \bar{A}^{-1} \bar{b} \hat{\psi}_i$$

и рассчитаем его производную

$$\dot{z}_i = (1 + \mu \bar{\omega}^T \bar{\omega}) \bar{A} z_i - \bar{A}^{-1} \bar{b} \bar{\omega}_i \varepsilon.$$

Домножим (10.17) на  $\bar{c}^T$  и получим

$$\bar{c}^T z_i = \underbrace{\bar{c}^T \eta_i}_{\hat{\theta}_i} + \underbrace{\bar{c}^T \bar{A}^{-1} \bar{b}}_{-1} \hat{\psi}_i$$

$$\hat{\theta}_i = \bar{c}^T \eta_i \quad (10.16)$$

$$\bar{c}^T \bar{A}^{-1} \bar{b} = -\alpha(0) / \alpha(s) \Big|_{s=0} = -1$$

Привет из  
классической  
теории  
управления

## Алгоритм высокого порядка

### *Замечание 10.1. Пояснение к работе алгоритма*

Введем в рассмотрение вспомогательный сигнал

$$z_i = \eta_i + \bar{A}^{-1} \bar{b} \hat{\psi}_i$$

и рассчитаем его производную

$$\dot{z}_i = (1 + \mu \bar{\omega}^T \bar{\omega}) \bar{A} z_i - \bar{A}^{-1} \bar{b} \bar{\omega}_i \varepsilon.$$

Домножим (10.17) на  $\bar{c}^T$  и получим

$$\bar{c}^T z_i = \hat{\theta}_i - \hat{\psi}_i$$

## Алгоритм высокого порядка

### *Замечание 10.1. Пояснение к работе алгоритма*

Введем в рассмотрение вспомогательный сигнал

$$z_i = \eta_i + \bar{A}^{-1} \bar{b} \hat{\psi}_i$$

и рассчитаем его производную

$$\dot{z}_i = (1 + \mu \bar{\omega}^T \bar{\omega}) \bar{A} z_i - \bar{A}^{-1} \bar{b} \bar{\omega}_i \varepsilon.$$

Домножим (10.17) на  $\bar{c}^T$  и получим

$$\bar{c}^T z_i = \hat{\theta}_i - \hat{\psi}_i$$

$$\tilde{\theta}_i = \theta_i - \hat{\theta}_i$$

$$\tilde{\psi}_i = \theta_i - \hat{\psi}_i$$



## Алгоритм высокого порядка

### *Замечание 10.1. Пояснение к работе алгоритма*

Введем в рассмотрение вспомогательный сигнал

$$z_i = \eta_i + \bar{A}^{-1} \bar{b} \hat{\psi}_i$$

и рассчитаем его производную

$$\dot{z}_i = (1 + \mu \bar{\omega}^T \bar{\omega}) \bar{A} z_i - \bar{A}^{-1} \bar{b} \bar{\omega}_i \varepsilon.$$

Домножим (10.17) на  $\bar{c}^T$  и получим

$$\bar{c}^T z_i = \tilde{\psi}_i - \tilde{\theta}_i$$

## Алгоритм высокого порядка

### *Замечание 10.1. Пояснение к работе алгоритма*

Введем в рассмотрение вспомогательный сигнал

$$z_i = \eta_i + \bar{A}^{-1} \bar{b} \hat{\psi}_i \quad (10.17)$$

и рассчитаем его производную

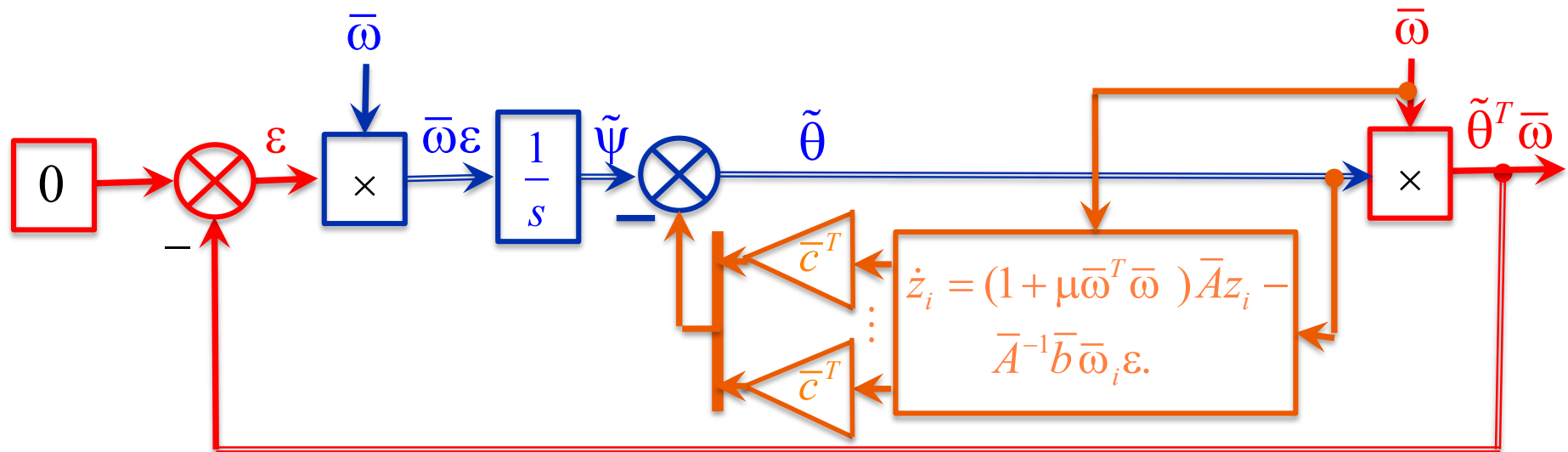
$$\dot{z}_i = (1 + \mu \bar{\omega}^T \bar{\omega}) \bar{A} z_i - \bar{A}^{-1} \bar{b} \bar{\omega}_i \varepsilon. \quad (10.18)$$

Домножим (10.17) на  $\bar{c}^T$  и получим

$$\tilde{\theta}_i = \tilde{\psi}_i - \bar{c}^T z_i \quad (10.19)$$

## Алгоритм высокого порядка

*Замечание 10.1. Пояснение к работе алгоритма*



*Модель ошибки*

$$\varepsilon = -\tilde{\theta}^T \bar{w} \quad (10.13)$$

*Вспомогательная динамика*

$$\dot{z}_i = (1 + \mu \bar{w}^T \bar{w}) \bar{A} z_i - \bar{A}^{-1} \bar{b} \bar{w}_i \varepsilon \quad (10.18)$$

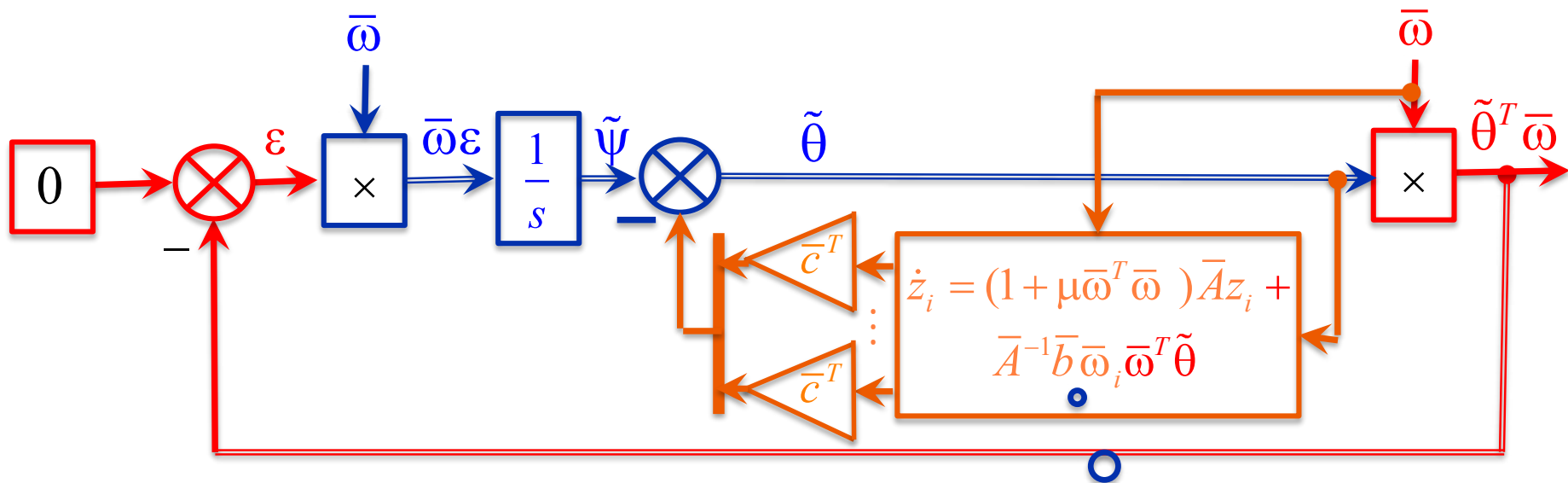
*Модель параметрической  
ошибки*

$$\dot{\tilde{\theta}}_i = \tilde{\psi}_i - \bar{c}^T z_i \quad (10.19)$$

$$\dot{\tilde{\psi}}_i = \bar{w}_i \varepsilon \quad (10.14)$$

## Алгоритм высокого порядка

*Замечание 10.1. Пояснение к работе алгоритма*



*Модель ошибки*

$$\varepsilon = -\tilde{\theta}^T \bar{w} \quad (10.13)$$

*Вспомогательная динамика*

$$\dot{z}_i = (1 + \mu \bar{w}^T \bar{w}) \bar{A} z_i - \bar{A}^{-1} \bar{b} \bar{w}_i \varepsilon \quad (10.18)$$

*Модель параметрической ошибки*

$$\tilde{\theta}_i = \tilde{\psi}_i - \bar{c}^T z_i \quad (10.19)$$

$$\dot{\tilde{\psi}}_i = \bar{w}_i \varepsilon \quad (10.14)$$

Фильтры  
с расширяющейся  
полосой пропускания

## Функция Ляпунова?

*Модель ошибки*

$$\varepsilon = -\tilde{\theta}^T \bar{\omega} \quad (10.13)$$

*Вспомогательная динамика*

$$\dot{z}_i = (1 + \mu \bar{\omega}^T \bar{\omega}) \bar{A} z_i - \bar{A}^{-1} \bar{b} \bar{\omega}_i \varepsilon \quad (10.18)$$

*Модель параметрической  
ошибки*

$$\tilde{\theta}_i = \tilde{\psi}_i - \bar{c}^T z_i \quad (10.19)$$

$$\dot{\tilde{\psi}}_i = \bar{\omega}_i \varepsilon \quad (10.14)$$

$$V = \frac{1}{2} \sum_{i=1}^{2n-1} z_i^T P z_i + \frac{1}{2} \sum_{i=1}^{2n-1} \tilde{\psi}_i^2 \quad (10.20)$$

*Модель ошибки*

$$\varepsilon = -\tilde{\theta}^T \bar{\omega} \quad (10.13)$$

*Вспомогательная динамика*

$$\dot{z}_i = (1 + \mu \bar{\omega}^T \bar{\omega}) \bar{A} z_i - \bar{A}^{-1} \bar{b} \bar{\omega}_i \varepsilon \quad (10.18)$$

*Модель параметрической  
ошибки*

$$\dot{\tilde{\theta}}_i = \tilde{\psi}_i - \bar{c}^T z_i \quad (10.19)$$

$$\dot{\tilde{\psi}}_i = \bar{\omega}_i \varepsilon \quad (10.14)$$

$$V = \frac{1}{2} \sum_{i=1}^{2n-1} z_i^T P z_i + \frac{1}{2} \sum_{i=1}^{2n-1} \tilde{\psi}_i^2 \quad (10.20)$$

$$\dot{V} = \frac{1}{2} \sum_{i=1}^{2n-1} \dot{z}_i^T P z_i + \frac{1}{2} \sum_{i=1}^{2n-1} z_i^T P \dot{z}_i + \sum_{i=1}^{2n-1} \tilde{\psi}_i \dot{\tilde{\psi}}_i$$

Модель ошибки

Вспомогательная динамика

Модель параметрической  
ошибки

$$\varepsilon = -\tilde{\theta}^T \bar{\omega} \quad (10.13)$$

$$\dot{z}_i = (1 + \mu \bar{\omega}^T \bar{\omega}) \bar{A} z_i - \bar{A}^{-1} \bar{b} \bar{\omega}_i \varepsilon \quad (10.18)$$

$$\tilde{\theta}_i = \tilde{\psi}_i - \bar{c}^T z_i \quad (10.19)$$

$$\dot{\tilde{\psi}}_i = \bar{\omega}_i \varepsilon \quad (10.14)$$

$$V = \frac{1}{2} \sum_{i=1}^{2n-1} z_i^T P z_i + \frac{1}{2} \sum_{i=1}^{2n-1} \tilde{\psi}_i^2 \quad (10.20)$$

$$\dot{V} = \frac{1}{2} \sum_{i=1}^{2n-1} \dot{z}_i^T P z_i + \frac{1}{2} \sum_{i=1}^{2n-1} z_i^T P \dot{z}_i + \sum_{i=1}^{2n-1} \tilde{\psi}_i \dot{\tilde{\psi}}_i =$$

$$\frac{1}{2} \sum_{i=1}^{2n-1} \left( (1 + \mu \bar{\omega}^T \bar{\omega}) \bar{A} z_i - \bar{A}^{-1} \bar{b} \bar{\omega}_i \varepsilon \right)^T P z_i + \frac{1}{2} \sum_{i=1}^{2n-1} z_i^T P \left( (1 + \mu \bar{\omega}^T \bar{\omega}) \bar{A} z_i - \bar{A}^{-1} \bar{b} \bar{\omega}_i \varepsilon \right) +$$

$$\sum_{i=1}^{2n-1} \tilde{\psi}_i \bar{\omega}_i \varepsilon$$

Модель ошибки

$$\varepsilon = -\tilde{\theta}^T \bar{\omega} \quad (10.13)$$

Вспомогательная динамика

$$\dot{z}_i = (1 + \mu \bar{\omega}^T \bar{\omega}) \bar{A} z_i - \bar{A}^{-1} \bar{b} \bar{\omega}_i \varepsilon \quad (10.18)$$

Модель параметрической  
ошибки

$$\tilde{\theta}_i = \tilde{\psi}_i - \bar{c}^T z_i \quad (10.19)$$

$$\dot{\tilde{\psi}}_i = \bar{\omega}_i \varepsilon \quad (10.14)$$



$$V = \frac{1}{2} \sum_{i=1}^{2n-1} z_i^T P z_i + \frac{1}{2} \sum_{i=1}^{2n-1} \tilde{\psi}_i^2 \quad (10.20)$$

$$\dot{V} = \frac{1}{2} \sum_{i=1}^{2n-1} \dot{z}_i^T P z_i + \frac{1}{2} \sum_{i=1}^{2n-1} z_i^T P \dot{z}_i + \sum_{i=1}^{2n-1} \tilde{\psi}_i \dot{\tilde{\psi}}_i =$$

$$\frac{1}{2} \sum_{i=1}^{2n-1} \left( (1 + \mu \bar{\omega}^T \bar{\omega}) \bar{A} z_i - \bar{A}^{-1} \bar{b} \bar{\omega}_i \varepsilon \right)^T P z_i + \frac{1}{2} \sum_{i=1}^{2n-1} z_i^T P \left( (1 + \mu \bar{\omega}^T \bar{\omega}) \bar{A} z_i - \bar{A}^{-1} \bar{b} \bar{\omega}_i \varepsilon \right) +$$

$$\sum_{i=1}^{2n-1} \left( \tilde{\theta}_i \bar{\omega}_i \varepsilon + \bar{c}^T z_i \bar{\omega}_i \varepsilon \right)$$

Модель ошибки

$$\varepsilon = -\tilde{\theta}^T \bar{\omega} \quad (10.13)$$

Вспомогательная динамика

$$\dot{z}_i = (1 + \mu \bar{\omega}^T \bar{\omega}) \bar{A} z_i - \bar{A}^{-1} \bar{b} \bar{\omega}_i \varepsilon \quad (10.18)$$

Модель параметрической  
ошибки

$$\tilde{\theta}_i = \tilde{\psi}_i - \bar{c}^T z_i \quad (10.19)$$

$$\dot{\tilde{\psi}}_i = \bar{\omega}_i \varepsilon \quad (10.14)$$

$$V = \frac{1}{2} \sum_{i=1}^{2n-1} z_i^T P z_i + \frac{1}{2} \sum_{i=1}^{2n-1} \tilde{\psi}_i^2 \quad (10.20)$$

$$\dot{V} = \frac{1}{2} \sum_{i=1}^{2n-1} \dot{z}_i^T P z_i + \frac{1}{2} \sum_{i=1}^{2n-1} z_i^T P \dot{z}_i + \sum_{i=1}^{2n-1} \tilde{\psi}_i \dot{\tilde{\psi}}_i =$$

$$\frac{1}{2} \sum_{i=1}^{2n-1} \left( (1 + \mu \bar{\omega}^T \bar{\omega}) \bar{A} z_i - \bar{A}^{-1} \bar{b} \bar{\omega}_i \varepsilon \right)^T P z_i + \frac{1}{2} \sum_{i=1}^{2n-1} z_i^T P \left( (1 + \mu \bar{\omega}^T \bar{\omega}) \bar{A} z_i - \bar{A}^{-1} \bar{b} \bar{\omega}_i \varepsilon \right) +$$

$$\sum_{i=1}^{2n-1} \left( \tilde{\theta}_i \bar{\omega}_i \varepsilon + \bar{c}^T z_i \bar{\omega}_i \varepsilon \right) = (1 + \mu \bar{\omega}^T \bar{\omega}) \frac{1}{2} \sum_{i=1}^{2n-1} z_i^T \left( \overbrace{\bar{A}^T P + P \bar{A}}^{-2I} \right) z_i -$$

$$\frac{1}{2} \sum_{i=1}^{2n-1} \left[ \left( \bar{A}^{-1} \bar{b} \bar{\omega}_i \varepsilon \right)^T P z_i + z_i^T P \left( \bar{A}^{-1} \bar{b} \bar{\omega}_i \varepsilon \right) \right] - \varepsilon^2 + \sum_{i=1}^{2n-1} \bar{c}^T z_i \bar{\omega}_i \varepsilon$$

Модель ошибки

$$\varepsilon = -\tilde{\theta}^T \bar{\omega} \quad (10.13)$$

Вспомогательная динамика

$$\dot{z}_i = (1 + \mu \bar{\omega}^T \bar{\omega}) \bar{A} z_i - \bar{A}^{-1} \bar{b} \bar{\omega}_i \varepsilon \quad (10.18)$$

Модель параметрической  
ошибки

$$\tilde{\theta}_i = \tilde{\psi}_i - \bar{c}^T z_i \quad (10.19)$$

$$\dot{\tilde{\psi}}_i = \bar{\omega}_i \varepsilon \quad (10.14)$$

$$V = \frac{1}{2} \sum_{i=1}^{2n-1} z_i^T P z_i + \frac{1}{2} \sum_{i=1}^{2n-1} \tilde{\psi}_i^2 \quad (10.20)$$

$$\dot{V} = -(1 + \mu \bar{\omega}^T \bar{\omega}) \sum_{i=1}^{2n-1} z_i^T z_i - \sum_{i=1}^{2n-1} \left[ z_i^T P \bar{A}^{-1} \bar{b} \bar{\omega}_i \varepsilon \right] - \varepsilon^2 + \sum_{i=1}^{2n-1} \bar{c}^T z_i \bar{\omega}_i \varepsilon$$

Модель ошибки

$$\varepsilon = -\tilde{\theta}^T \bar{\omega} \quad (10.13)$$

Вспомогательная динамика

$$\dot{z}_i = (1 + \mu \bar{\omega}^T \bar{\omega}) \bar{A} z_i - \bar{A}^{-1} \bar{b} \bar{\omega}_i \varepsilon \quad (10.18)$$

Модель параметрической ошибки

$$\dot{\tilde{\theta}}_i = \tilde{\psi}_i - \bar{c}^T z_i \quad (10.19)$$

$$\dot{\tilde{\psi}}_i = \bar{\omega}_i \varepsilon \quad (10.14)$$

$$\begin{aligned}
 V &= \frac{1}{2} \sum_{i=1}^{2n-1} z_i^T P z_i + \frac{1}{2} \sum_{i=1}^{2n-1} \tilde{\psi}_i^2 \\
 \dot{V} &= -(1 + \mu \bar{\omega}^T \bar{\omega}) \sum_{i=1}^{2n-1} z_i^T z_i - \sum_{i=1}^{2n-1} \left[ z_i^T P \bar{A}^{-1} \bar{b} \bar{\omega}_i \varepsilon \right] - \varepsilon^2 + \sum_{i=1}^{2n-1} \bar{c}^T z_i \bar{\omega}_i \varepsilon \leq \\
 &= -\sum_{i=1}^{2n-1} z_i^T z_i - \mu \sum_{i=1}^{2n-1} \bar{\omega}_i^2 \|z_i\|^2 + \sum_{i=1}^{2n-1} \|z_i\| \left| \bar{c} - P \bar{A}^{-1} \bar{b} \right| \|\bar{\omega}_i\| |\varepsilon| - \frac{\varepsilon^2}{2} - \frac{\varepsilon^2}{2}
 \end{aligned} \tag{10.20}$$

Модель ошибки

$$\varepsilon = -\tilde{\theta}^T \bar{\omega} \tag{10.13}$$

Вспомогательная динамика

$$\dot{z}_i = (1 + \mu \bar{\omega}^T \bar{\omega}) \bar{A} z_i - \bar{A}^{-1} \bar{b} \bar{\omega}_i \varepsilon \tag{10.18}$$

Модель параметрической ошибки

$$\dot{\tilde{\theta}}_i = \tilde{\psi}_i - \bar{c}^T z_i \tag{10.19}$$

$$\dot{\tilde{\psi}}_i = \bar{\omega}_i \varepsilon \tag{10.14}$$

$$V = \frac{1}{2} \sum_{i=1}^{2n-1} z_i^T P z_i + \frac{1}{2} \sum_{i=1}^{2n-1} \tilde{\psi}_i^2 \quad (10.20)$$

$$\begin{aligned} \dot{V} = & -(1 + \mu \bar{\omega}^T \bar{\omega}) \sum_{i=1}^{2n-1} z_i^T z_i - \sum_{i=1}^{2n-1} \left[ z_i^T P \bar{A}^{-1} \bar{b} \bar{\omega}_i \varepsilon \right] - \varepsilon^2 + \sum_{i=1}^{2n-1} \bar{c}^T z_i \bar{\omega}_i \varepsilon \leq \\ & - \sum_{i=1}^{2n-1} z_i^T z_i - \mu \sum_{i=1}^{2n-1} \bar{\omega}_i^2 \|z_i\|^2 + \sum_{i=1}^{2n-1} \|z_i\| \left| \bar{c} - P \bar{A}^{-1} \bar{b} \right| \|\bar{\omega}_i\| |\varepsilon| - \frac{\varepsilon^2}{2} - \frac{\varepsilon^2}{2} = \\ & - \sum_{i=1}^{2n-1} z_i^T z_i - \frac{\varepsilon^2}{2} - \sum_{i=1}^{2n-1} \left( \mu \bar{\omega}_i^2 \|z_i\|^2 - \left| \bar{c} - P \bar{A}^{-1} \bar{b} \right| \|z_i\| \|\bar{\omega}_i\| |\varepsilon| + \frac{\varepsilon^2}{2(2n-1)} \right) \end{aligned}$$

Модель ошибки  $\varepsilon = -\tilde{\theta}^T \bar{\omega}$  (10.13)

Вспомогательная динамика  $\dot{z}_i = (1 + \mu \bar{\omega}^T \bar{\omega}) \bar{A} z_i - \bar{A}^{-1} \bar{b} \bar{\omega}_i \varepsilon$  (10.18)

Модель параметрической  $\tilde{\theta}_i = \tilde{\psi}_i - \bar{c}^T z_i$  (10.19)

ошибки  $\dot{\tilde{\psi}}_i = \bar{\omega}_i \varepsilon$  (10.14)

$$V = \frac{1}{2} \sum_{i=1}^{2n-1} z_i^T P z_i + \frac{1}{2} \sum_{i=1}^{2n-1} \tilde{\psi}_i^2 \quad (10.20)$$

$$\begin{aligned} \dot{V} = & -(1 + \mu \bar{\omega}^T \bar{\omega}) \sum_{i=1}^{2n-1} z_i^T z_i - \sum_{i=1}^{2n-1} \left[ z_i^T P \bar{A}^{-1} \bar{b} \bar{\omega}_i \varepsilon \right] - \varepsilon^2 + \sum_{i=1}^{2n-1} \bar{c}^T z_i \bar{\omega}_i \varepsilon \leq \\ & - \sum_{i=1}^{2n-1} z_i^T z_i - \mu \sum_{i=1}^{2n-1} \bar{\omega}_i^2 \|z_i\|^2 + \sum_{i=1}^{2n-1} \|z_i\| \|\bar{c} - P \bar{A}^{-1} \bar{b}\| \|\bar{\omega}_i\| |\varepsilon| - \frac{\varepsilon^2}{2} - \frac{\varepsilon^2}{2} = \\ & - \sum_{i=1}^{2n-1} z_i^T z_i - \frac{\varepsilon^2}{2} - \sum_{i=1}^{2n-1} \left( \mu \bar{\omega}_i^2 \|z_i\|^2 - \|\bar{c} - P \bar{A}^{-1} \bar{b}\| \|z_i\| \|\bar{\omega}_i\| |\varepsilon| + \frac{\varepsilon^2}{2(2n-1)} \right) \end{aligned}$$

Как насчет параметра  $\mu$  ?

$$V = \frac{1}{2} \sum_{i=1}^{2n-1} z_i^T P z_i + \frac{1}{2} \sum_{i=1}^{2n-1} \tilde{\psi}_i^2 \quad (10.20)$$

$$\begin{aligned} \dot{V} = & -(1 + \mu \bar{\omega}^T \bar{\omega}) \sum_{i=1}^{2n-1} z_i^T z_i - \sum_{i=1}^{2n-1} \left[ z_i^T P \bar{A}^{-1} \bar{b} \bar{\omega}_i \varepsilon \right] - \varepsilon^2 + \sum_{i=1}^{2n-1} \bar{c}^T z_i \bar{\omega}_i \varepsilon \leq \\ & - \sum_{i=1}^{2n-1} z_i^T z_i - \mu \sum_{i=1}^{2n-1} \bar{\omega}_i^2 \|z_i\|^2 + \sum_{i=1}^{2n-1} \|z_i\| \|\bar{c} - P \bar{A}^{-1} \bar{b}\| \|\bar{\omega}_i\| |\varepsilon| - \frac{\varepsilon^2}{2} - \frac{\varepsilon^2}{2} = \\ & - \sum_{i=1}^{2n-1} z_i^T z_i - \frac{\varepsilon^2}{2} - \sum_{i=1}^{2n-1} \left( \mu \bar{\omega}_i^2 \|z_i\|^2 - \|\bar{c} - P \bar{A}^{-1} \bar{b}\| \|z_i\| \|\bar{\omega}_i\| |\varepsilon| + \frac{\varepsilon^2}{2(2n-1)} \right) \end{aligned}$$

Если

$$\mu \geq \frac{(2n-1)}{2} \|\bar{c} - P \bar{A}^{-1} \bar{b}\|^2,$$

то

$$\dot{V} \leq - \sum_{i=1}^{2n-1} z_i^T z_i - \frac{\varepsilon^2}{2} < 0.$$



(10.21)

## Алгоритм высокого порядка Summary

*Настраиваемый регулятор*

$$u = \frac{1}{b_m} \delta_M(s) \left[ \frac{a_{M0}}{\delta_M(s)} [g] - \hat{\theta}^T \bar{\omega} \right] \quad (10.12)$$

*Регрессор*

$$\omega = \text{col}(y, v_1, v_2)$$

*Фильтры*

$$\begin{cases} \dot{v}_1 = \Lambda v_1 + e_{n-1} y, \\ \dot{v}_2 = \Lambda v_2 + e_{n-1} u \end{cases} \quad (9.4)$$

*Алгоритм адаптации*

$$\begin{cases} \dot{\hat{\psi}}_i = -\bar{\omega}_i \varepsilon, \\ \dot{\eta}_i = (1 + \mu \bar{\omega}^T \bar{\omega}) (\bar{A} \eta_i + \bar{b} \hat{\psi}_i), \\ \hat{\theta}_i = \bar{c}^T \eta_i \end{cases} \quad (9.5)$$

*Старшие производные ( $\rho = 2$ )*

$$\begin{cases} \dot{\hat{\psi}}_i = -\bar{\omega}_i \varepsilon, \end{cases} \quad (10.14)$$

$$\begin{cases} \dot{\eta}_i = (1 + \mu \bar{\omega}^T \bar{\omega}) (\bar{A} \eta_i + \bar{b} \hat{\psi}_i), \end{cases} \quad (10.15)$$

$$\begin{cases} \hat{\theta}_i = \bar{c}^T \eta_i \end{cases} \quad (10.16)$$

*Ошибка*

$$\varepsilon = y_M - y$$

*Фильтрованный регрессор*

$$\bar{\omega} = \frac{1}{\delta_M(s)} [\omega]$$

*Коэффициент*  $\mu \geq \frac{(2n-1)}{2} \|\bar{c} - P\bar{A}^{-1}\bar{b}\|^2$



## Алгоритм высокого порядка. Заключение

*Настраиваемый регулятор*

$$u = \frac{1}{b_m} \delta_M(s) \left[ \frac{a_{M0}}{\delta_M(s)} [g] - \hat{\theta}^T \bar{\omega} \right] \quad (10.12)$$

*Регрессор*

$$\omega = \text{col}(y, v_1, v_2)$$

*Фильтры*

$$\begin{cases} \dot{v}_1 = \Lambda v_1 + e_{n-1} y, \\ \dot{v}_2 = \Lambda v_2 + e_{n-1} u \end{cases} \quad (9.4)$$

$$\quad (9.5)$$

*Алгоритм адаптации*

*Старшие производные ( $\rho = 2$ )*

$$\begin{cases} \dot{\hat{\psi}}_i = -\bar{\omega}_i \varepsilon, \\ \dot{\eta}_i = (1 + \mu \bar{\omega}^T \bar{\omega}) (\bar{A} \eta_i + \bar{b} \hat{\psi}_i), \\ \hat{\theta}_i = \bar{c}^T \eta_i \end{cases}$$

$$\begin{aligned} \dot{\hat{\theta}}_i &= \bar{c}^T \dot{\eta}_i = \bar{c}^T (1 + \mu \bar{\omega}^T \bar{\omega}) (\bar{A} \eta_i + \bar{b} \hat{\psi}_i) \\ \ddot{\hat{\theta}}_i &= 2 \bar{c}^T \mu \bar{\omega}^T \dot{\bar{\omega}} (\bar{A} \eta_i + \bar{b} \hat{\psi}_i) + \\ &\quad (1 + \mu \bar{\omega}^T \bar{\omega})^2 \bar{c}^T (\bar{A}^2 \eta_i + \bar{A} \bar{b} \hat{\psi}_i - \bar{b} \bar{\omega}_i \varepsilon) \end{aligned}$$

*Ошибка*

$$\varepsilon = y_M - y$$

*Фильтрованный  
регрессор*

$$\bar{\omega} = \frac{1}{\delta_M(s)} [\omega]$$

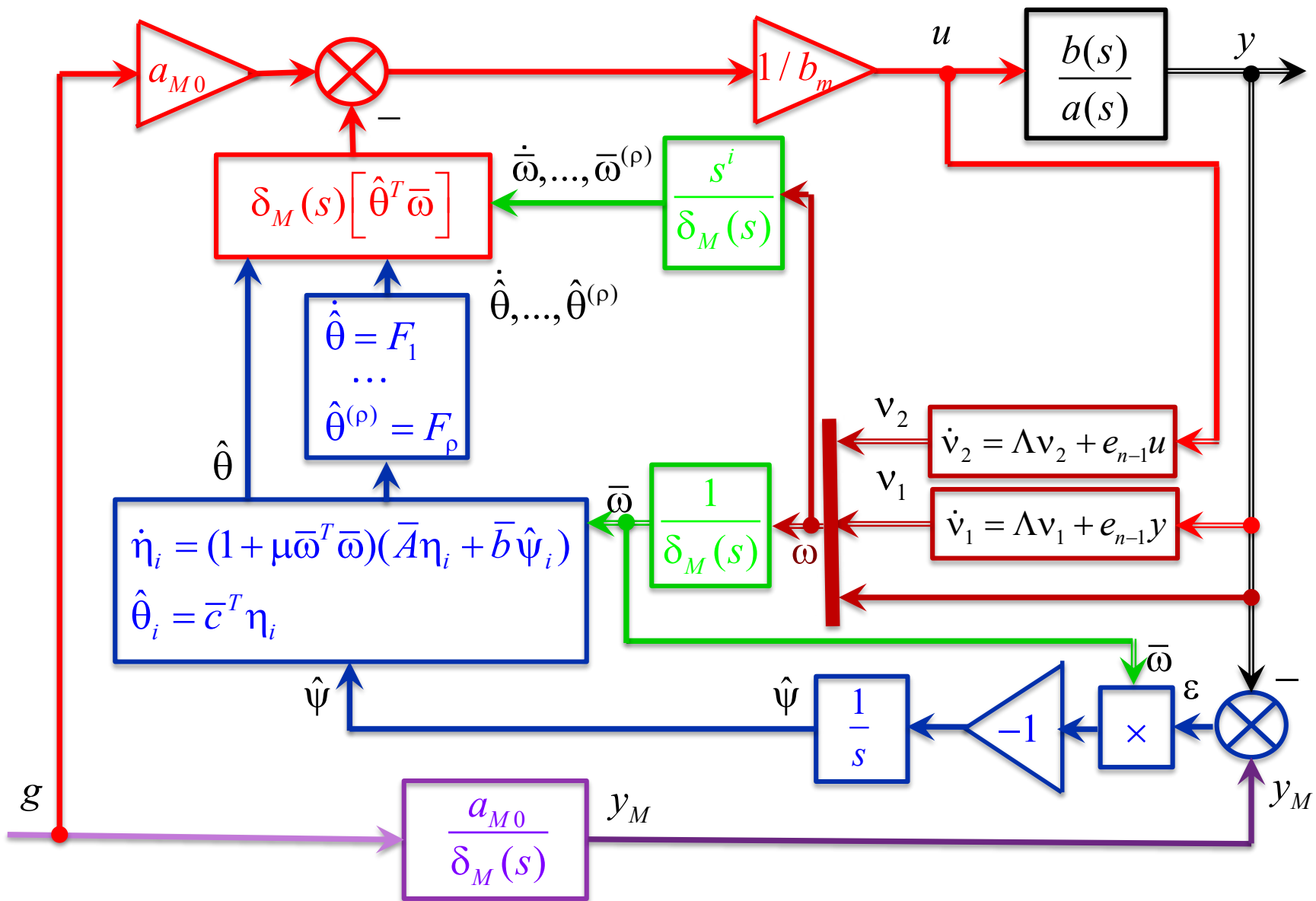
*Коэффициент*  $\mu \geq \frac{(2n-1)}{2} \|\bar{c} - P \bar{A}^{-1} \bar{b}\|^2$

## Алгоритм высокого порядка. Заключение

### Свойства замкнутой системы:

1. Все сигналы в системе ограничены;
2. Норма  $\|z(t)\|$  стремится к нулю асимптотически;
3. Ошибка  $\varepsilon(t)$  стремится к нулю асимптотически;
4. Норма  $\|\tilde{\theta}(t)\|$  стремится к нулю экспоненциально, если  $\omega$  удовлетворяет условию неисчезающего возбуждения (**R. Ortega, 1995**);
5. Алгоритм адаптации не имеет нормирующего множителя и не ограничивает скорость сходимости оценок.

$$\begin{cases} \dot{\hat{\psi}}_i = -\bar{\omega}_i \varepsilon, \\ \dot{\eta}_i = (1 + \mu \bar{\omega}^T \bar{\omega}) (\bar{A} \eta_i + \bar{b} \hat{\psi}_i), \\ \hat{\theta}_i = \bar{c}^T \eta_i. \end{cases}$$



## Результаты моделирования (Пример из Лекции 6.3)

*Объект*

$$\ddot{y} + a_1 \dot{y} + a_0 y = u$$

*Неизвестные параметры*

$$a_0 = 1, \quad a_1 = 2$$

*Эталонная модель*

$$\ddot{y}_M + 5\dot{y}_M + 6y_M = 6g$$

*Коэффициент адаптации*

$$\gamma(t) = \frac{1000}{1 + W_M(s) \begin{bmatrix} \omega^T \end{bmatrix} W_M(s) \begin{bmatrix} \omega \end{bmatrix}}$$

*Передаточная функция ЭМ (с единичным числителем)*

$$W_M(s) = \frac{1}{s^2 + 5s + 6}$$

*Эталонный сигнал*

$$g(t) = \sin 4t$$

## Метод расширенной ошибки. Результаты моделирования

*Расширенная ошибка*

$$\hat{\varepsilon} = \varepsilon + \hat{\theta}^T \bar{\omega} - \frac{1}{s^2 + 5s + 6} \left[ \hat{\theta}^T \omega \right]$$

*Ошибка*

$$\varepsilon = y_M - y$$

*Настраиваемый регулятор*

$$u = -\hat{\theta}^T \omega + 6g$$

*Алгоритм адаптации*

$$\dot{\hat{\theta}} = -\frac{100}{1 + \bar{\omega}^T(t) \bar{\omega}(t)} \bar{\omega} \hat{\varepsilon}$$

*Коэффициент адаптации*

$$\gamma = 100$$

## Алгоритм высокого порядка. Результаты моделирования

### *Настраиваемый регулятор*

$$u = -\ddot{\hat{\theta}}^T \bar{\omega} - 2\dot{\hat{\theta}}^T \dot{\bar{\omega}} - \hat{\theta}^T \ddot{\bar{\omega}} - 5\dot{\hat{\theta}}^T \bar{\omega} - 5\hat{\theta}^T \dot{\bar{\omega}} - 6\hat{\theta}^T \bar{\omega} + 6g$$

### *Алгоритм адаптации*

$$\begin{cases} \dot{\hat{\psi}}_i = -\bar{\omega}_i \varepsilon, & i = 1, 2, 3, \\ \dot{\eta}_i = (1 + \mu \bar{\omega}^T \bar{\omega})(-5\eta_i + 5\hat{\psi}_i), \\ \hat{\theta}_i = \eta_i \end{cases}$$

### *Производные высокого порядка*

$$\begin{aligned} \dot{\hat{\theta}}_i &= (1 + \mu \bar{\omega}^T \bar{\omega})(-5\eta_i + 5\hat{\psi}_i) \\ \ddot{\hat{\theta}}_i &= 2\mu \bar{\omega}^T \dot{\bar{\omega}}(-5\eta_i + 5\hat{\psi}_i) + \\ &+ (1 + \mu \bar{\omega}^T \bar{\omega})^2 \bar{c}^T (25\eta_i - 25\hat{\psi}_i - 5\bar{\omega}_i \varepsilon) \end{aligned}$$

### *Фильтрованный регрессор и его производные*

$$\bar{\omega} = \frac{1}{s^2 + 5s + 6} [\omega],$$

$$\dot{\bar{\omega}} = \frac{s}{s^2 + 5s + 6} [\omega], \quad \ddot{\bar{\omega}} = \frac{s^2}{s^2 + 5s + 6} [\omega]$$

### *Ошибка*

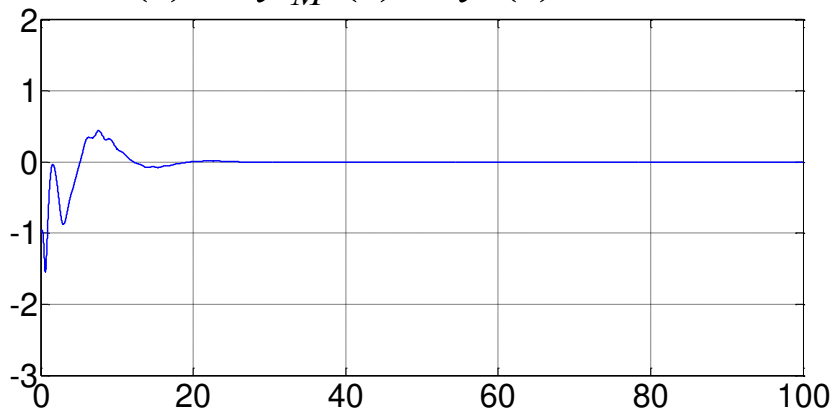
$$\varepsilon = y_M - y$$

### *Коэффициент* $\mu = 54$

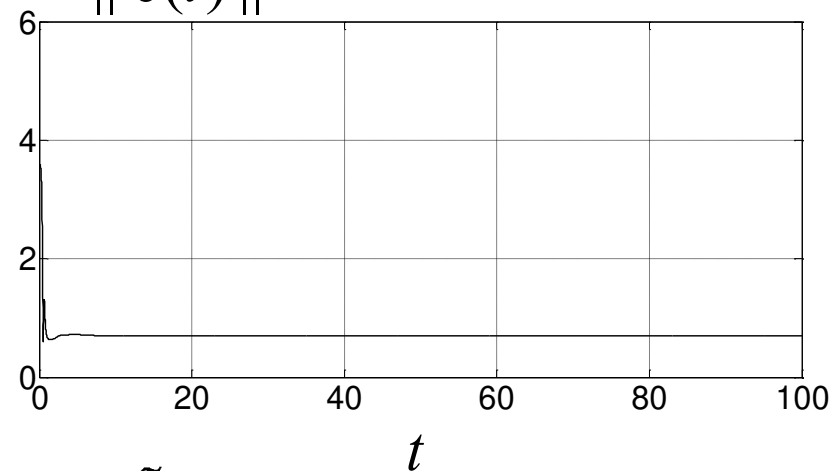
## Результаты моделирования

$g(t) = 15\sin(2t)$  (*NOT persistently exciting*)

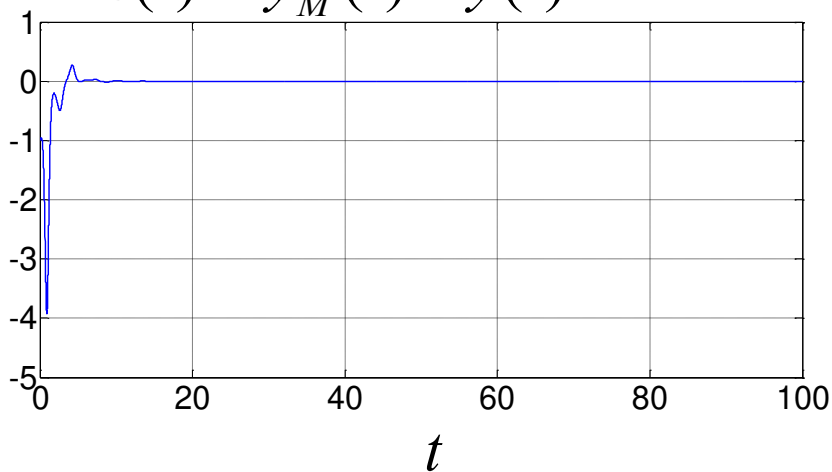
$$\varepsilon(t) = y_M(t) - y(t)$$



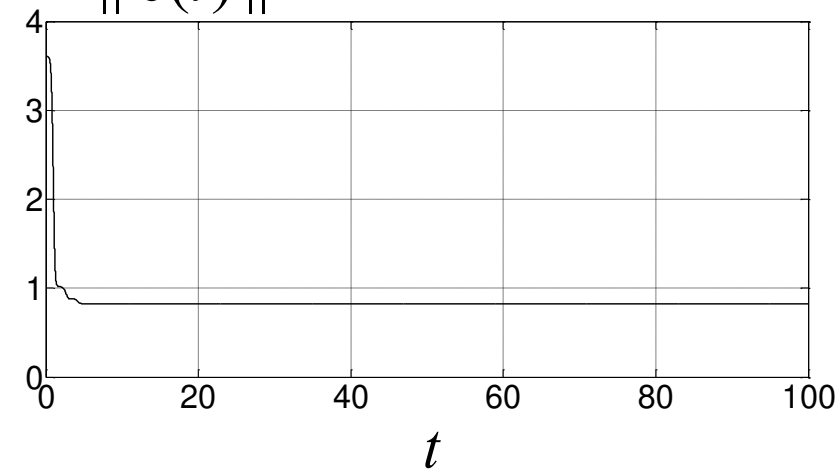
$$\|\tilde{\theta}(t)\|$$



$$\varepsilon(t) = y_M(t) - y(t)$$



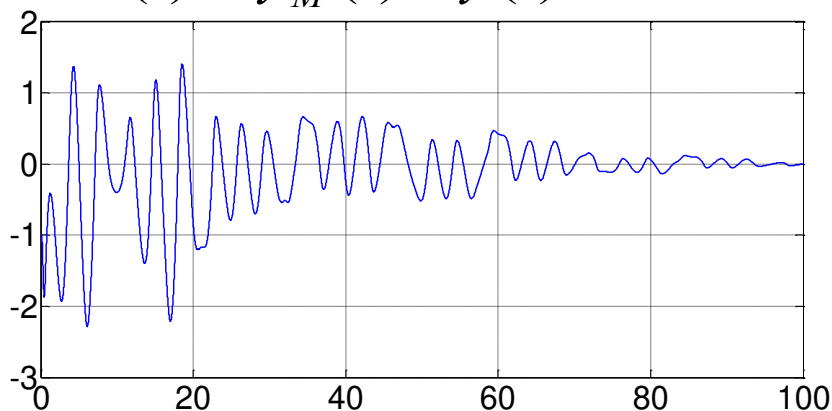
$$\|\tilde{\theta}(t)\|$$



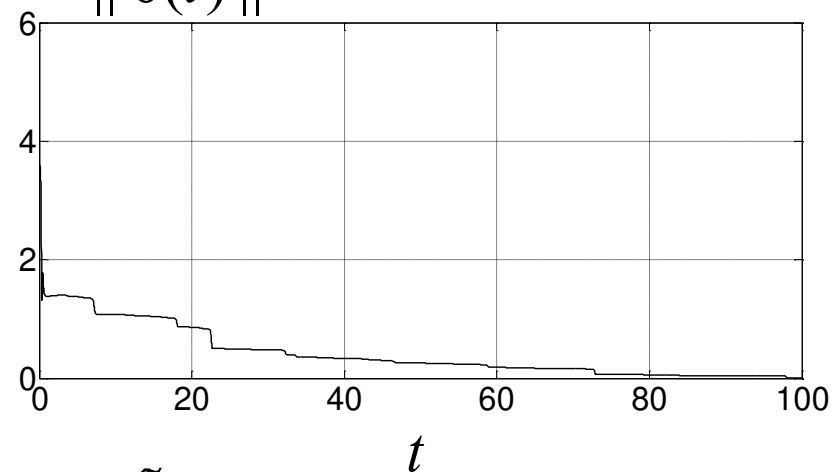
## Результаты моделирования

$g(t) = 15\sin(2t) + 10\cos(0.25t)$  (*persistently exciting*)

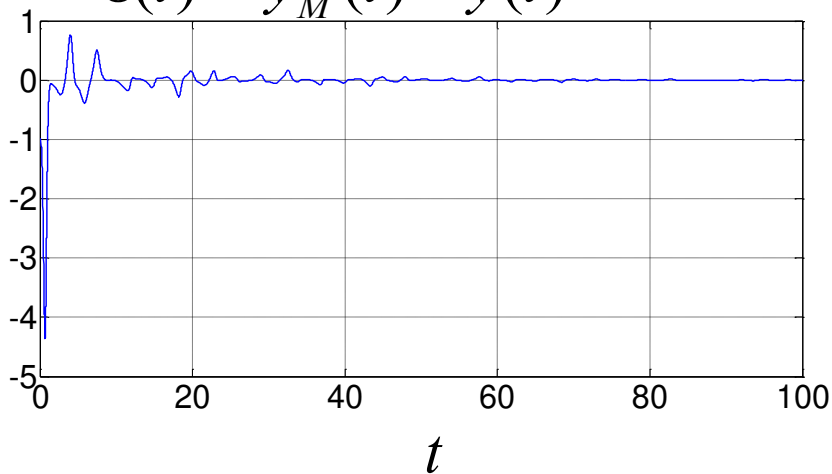
$$\varepsilon(t) = y_M(t) - y(t)$$



$$\|\tilde{\theta}(t)\|$$



$$\varepsilon(t) = y_M(t) - y(t)$$



$$\|\tilde{\theta}(t)\|$$

